

Приложения теории формальных языков и синтаксического анализа

Семён Григорьев

28 сентября 2019 г.

Содержание

1	Введение	4
2	Общие сведения теории графов	4
2.1	Основные определения	5
2.2	Задачи поиска путей	7
2.3	APSP и транзитивное замыкание графа	8
2.4	APSP и произведение матриц	9
2.5	Умножение матриц с субкубической сложностью	10
2.6	Вопросы и задачи	11
3	Общие сведения теории формальных языков	11
3.1	Контекстно-свободные грамматики и языки	12
3.2	Дерево вывода	14
3.3	Пустота КС-языка	15
3.4	Нормальная форма Хомского	16
3.5	Вопросы и задачи	18
4	Задача о поиске путей с ограничениями в терминах формальных языков	18
4.1	Постановка задачи	18
4.2	О разрешимости задачи	19
4.3	Области применения	19
4.4	Вопросы и задачи	19
5	СУК для вычисления КС запросов	19
5.1	Алгоритм СУК	20
5.2	Алгоритм для графов на основе СУК	23
5.3	Вопросы и задачи	23
6	Алгоритм на матричных операциях	23
6.1	Матрицы для КС разбора	23
6.2	Матрицы для КС запросов	23
6.3	Конъюнктивные и булевы грамматики	25
6.3.1	Определения	25
6.3.2	Для графов	25
6.4	Особенности реализации матричного алгоритма	25
6.5	Вопросы и задачи	26

7	Через тензорное произведение	26
7.1	Рекурсивные автоматы и сети	27
7.2	Тензорное произведение	27
7.3	Алгоритм	30
7.4	Примеры	30
7.5	Замечания о реализации	51
7.6	Вопросы и задачи	51
8	Сжатое представление леса разбора	51
8.1	Лес разбора как представление контекстно-свободной грамматики	51
8.2	Вопросы и задачи	56
9	Алгоритм на основе восходящего анализа	56
9.1	Восходящий синтаксический анализ	56
9.2	КС запросы	56
9.3	Вопросы и задачи	57
10	Алгоритм на основе нисходящего анализа	57
10.1	Нисходящий синтаксический анализ	57
10.2	GLL для КС запросов	57
10.3	Вопросы и задачи	57
11	Комбинаторы для КС апросов	57
11.1	Парсер комбинаторы	57
11.2	Комбинаторы для КС запросов	58
11.3	Вопросы и задачи	58
12	Производные для КС запросов	58
12.1	Производные	58
12.2	Парсинг на производных	58
12.3	Адоптация для КС запросов	58
12.4	Вопросы и задачи	58
13	От CFPQ к вычислению Datalog-запросов	58
13.1	Datalog	58
13.2	КС-запрос как запрос на Datalog	59
13.3	Обобщение GLL для вычисления Datalog-запросов	59
13.4	Вопросы и задачи	59

1 Введение

Одна из классических задач, связанных с анализом графов — это поиск путей в графе. Возможны различные формулировки этой задачи. В некоторых случаях необходимо выяснить, существует ли путь с определёнными свойствами между двумя wybranными вершинами. В других же ситуациях необходимо найти все пути в графе, удовлетворяющие некоторым свойствам.

Так или иначе, на практике часто требуется указать, что интересующие нас пути должны обладать каким-либо специальными свойствами. Иными словами, наложить на пути некоторые ограничения. Например, указать, что искомый путь должен быть простым, кратчайшим, гамильтоновым и так далее.

Один из способов задавать ограничения на пути в графе основан на использовании формальных языков. Базовое определение языка говорит нам, что язык — это множество слов над некоторым алфавитом. Если рассмотреть граф, рёбра которого помечены символами из алфавита, то путь в таком графе будет задавать слово: достаточно соединить последовательно символы, лежащие на рёбрах пути. Множество же таких путей будет задавать множество слов или язык. Таким образом, если мы хотим найти некоторое множество путей в графе, то в качестве ограничения можно описать язык, который должно задавать это множество. Иными словами, задача поиска путей может быть сформулирована следующим образом: необходимо найти такие пути в графе, что слова, получаемые конкатенацией меток их рёбер, принадлежат заданному языку. Такой класс задач будем называть задачами поиска путей с ограничениям в терминах формальных языков.

Подобный класс задач часто возникает в областях, связанных с анализом данных и активно исследуется [7, 4, 27, 56, 6, 7]. Исследуются как классы языков, так и различные постановки задачи.

Применения в статическом анализе кода.

Пример 1.1. Примеры

Применения в графовых базах данных.

Пример 1.2. Примеры

Ещё где-нибудь.

Структура данной работы такова.

Сперва кратко базовые вещи из теории графов и теории формальных языков.

Далее рассмотрим различные варианты постановки задачи, обсудим базовые свойства задач, их разрешимость и т.д..

И различные алгоритмы решения. Обычно в связке: классический синтаксический анализ — адаптация для обработки графов.

2 Общие сведения теории графов

В данном разделе мы дадим определения базовым понятиям из теории графов, рассмотрим несколько классических задач из области анализа графов и алгоритмы их решения. Всё это понадобится нам при последующей работе.

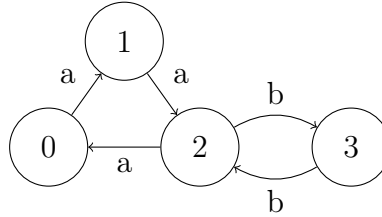
В дальнейшем нам будут нужны конечные ориентированные помеченные графы. Мы будем использовать термин *граф* подразумевая именно конечный ориентированный помеченный граф, если только не оговорено противное.

2.1 Основные определения

Определение 2.1. Граф $\mathcal{G} = \langle V, E, L \rangle$, где V — конечное множество вершин, E — конечное множество рёбер, т.ч. $E \subseteq V \times L \times V$, L — конечное множество меток рёбер.

Мы будем считать, что все вершины занумерованы подряд с нуля. То есть можно считать, что V — это отрезок неотрицательных целых чисел.

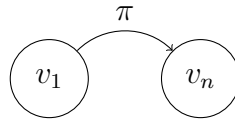
Пример 2.1 (Пример графа и его графического представления). Пусть граф $\mathcal{G}_1 = \langle \{0, 1, 2, 3\}, \{(0, a, 1), (1, a, 2), (2, a, 0), (2, b, 3), (3, b, 2)\}, \{a, b\} \rangle$. Графическое представление графа \mathcal{G}_1 :



Определение 2.2. Ребро ориентированного помеченного графа $\mathcal{G} = \langle V, E, L \rangle$ это упорядоченная тройка из $V \times L \times V$.

Пример 2.2. $(0, a, 1)$ и $(3, b, 2)$ — это рёбра графа \mathcal{G}_1 . При этом, $(3, b, 2)$ $(2, b, 3)$ — это разные рёбра, что видно из рисунка.

Определение 2.3. Путём π в графе \mathcal{G} будем называть последовательность рёбер такую, что для любых двух последовательных рёбер $e_1 = (u_1, l_1, v_1)$ и $e_2 = (u_2, l_2, v_2)$ в этой последовательности, конечная вершина первого ребра является начальной вершиной второго, то есть $v_1 = u_2$. Будем обозначать путь из вершины v_0 в вершину v_n как $v_0\pi v_n = e_0, e_1, \dots, e_{n-1} = (v_0, l_0, v_1), (v_1, l_1, v_2), \dots, (v_{n-1}, l_{n-1}, v_n)$.



Пример 2.3. $(0, a, 1)(1, a, 2) = 1\pi_1 2$ — путь из вершины 0 в вершину 2 в графе \mathcal{G}_1 . При этом, $(0, a, 1)(1, a, 2)(2, b, 3)(3, b, 2) = 1\pi_2 2$ — это тоже путь из вершины 0 в вершину 2 в графе \mathcal{G}_1 , но он не равен $0\pi_1 2$.

Нам потребуется также отношение, отражающее факт существования пути между двумя вершинами.

Определение 2.4. Отношение достижимости в графе: $(v_i, v_j) \in P \iff \exists v_i\pi v_j$.

Отметим, что рефлексивность этого отношения часто зависит от контекста. В некоторых задачах по-умолчанию $(v_i, v_i) \notin P$, а чтобы это было верно, требуется явное наличие ребра-петли.

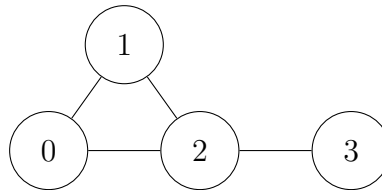
Один из способов задать граф — это задать его матрицу смежности.

Определение 2.5. Матрица смежности графа $\mathcal{G} = \langle V, E, L \rangle$ — это квадратная матрица M размера $n \times n$, где $|V| = n$ и ячейки которой содержат множества. При этом $l \in M[i, j] \iff \exists e = (i, l, j) \in E$.

Заметим, что наше определение матрицы смежности отличается от классического, в котором матрица отражает лишь факт наличия хотя бы одного ребра и, соответственно, является булевой. То есть $M[i, j] = 1 \iff \exists e = (i, _, j) \in E$.

Также можно встретить матрицы смежности в ячейках которых всё же хранится некоторая информация, однако, в единственном экземпляре. То есть запрещены параллельные рёбра. Такой подход часто можно встретить в задачах о кратчайших путях: в этом случае в ячейке хранится расстояние между двумя вершинами. При этом, так как в качестве весов часто рассматривают произвольные (в том числе отрицательные) числа, то в задачах о кратчайших путях отдельно вводят значение “бесконечность” для обозначения ситуации, когда между двумя вершинами нет пути или его длина ещё не известна.

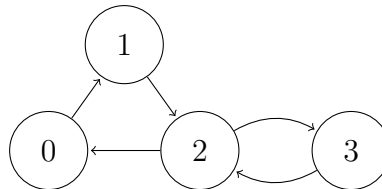
Пример 2.4. Неориентированный граф:



И его матрица смежности:

$$\begin{pmatrix} 1 & 1 & 1 & 0 \\ 1 & 1 & 1 & 0 \\ 1 & 1 & 1 & 1 \\ 0 & 0 & 1 & 1 \end{pmatrix}$$

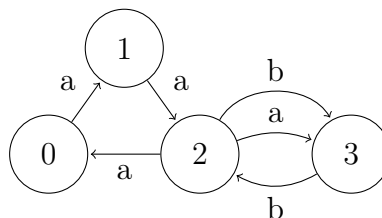
Пример 2.5. Ориентированный граф:



И его матрица смежности:

$$\begin{pmatrix} 1 & 1 & 0 & 0 \\ 0 & 1 & 1 & 0 \\ 1 & 0 & 1 & 1 \\ 0 & 0 & 1 & 1 \end{pmatrix}$$

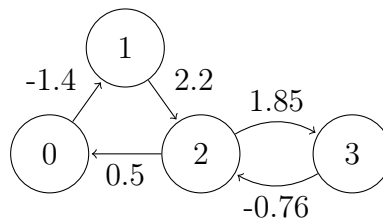
Пример 2.6. Помеченный граф:



И его матрица смежности:

$$\begin{pmatrix} \emptyset & \{a\} & \emptyset & \emptyset \\ \emptyset & \emptyset & \{a\} & \emptyset \\ \{a\} & \emptyset & \emptyset & \{a, b\} \\ \emptyset & \emptyset & \{b\} & \emptyset \end{pmatrix}$$

Пример 2.7. Взвешенный граф для задачи о кратчайших путях:



И его матрица смежности (для задачи о кратчайших путях):

$$\begin{pmatrix} 0 & -1.4 & \infty & \infty \\ \infty & 0 & 2.2 & \infty \\ 0.5 & \infty & 0 & 1.85 \\ \infty & \infty & -0.76 & 0 \end{pmatrix}$$

Мы ввели лишь общие понятия. Специальные понятия, необходимые для изложения конкретного материала, будут даны в соответствующих главах.

2.2 Задачи поиска путей

Одна из классических задач анализа графов — это задача поиска путей между вершинами с различными ограничениями.

При этом, возможны различные постановки задачи. С одной стороны, по тому, что именно мы хотим получить в качестве результата:

- Наличие пути, удовлетворяющего ограничениям, в графе.
- Наличие пути, удовлетворяющего ограничениям, между некоторыми вершинами: задача достижимости. Достижима ли вершина v_1 из вершины v_2 по пути, удовлетворяющему ограничениям. Такая постановка требует лишь проверить существование, но не обязательно предоставлять путь.
- Поиск одного пути, удовлетворяющего ограничениям. Уже надо предъявлять путь.
- Поиск всех путей. Надо предоставить все пути.

С другой стороны, задачи различаются ещё и по тому, как фиксируем вершины:

- из одной вершины до всех
- между всеми парами вершин
- между фиксированной парой вершин
- между двумя множествами вершин

Итого, можем сгенерировать прямое произведение различных постановок.

Ограничение, имеющее важное прикладное значение, — минимальность длины. Иными словами, важная прикладная задача — *поиск кратчайших путей в графе* (англ. *APSP* — *all-pairs shortest paths*)

Часто добавляют ограничения, что путь должен быть простым и другие.

2.3 APSP и транзитивное замыкание графа

Заметим, что отношение достижимости (2.4) является транзитивным. Действительно, если существует путь из v_i в v_j и путь из v_j в v_k , то существует путь из v_i в v_k .

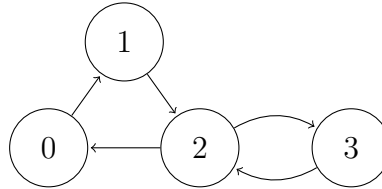
Определение 2.6. *Транзитивным замыканием графа* называется транзитивное замыкание отношения достижимости по всему графу.

Как несложно заметить, транзитивное замыкание графа — это тоже граф. Более того, если решить задачу поиска кратчайших путей между всеми парами вершин, то мы построим транзитивное замыкание. Поэтому сразу рассмотрим алгоритм Флойда-Уоршелла [20, 44, 58], который является общим алгоритмом поиска кратчайших путей (умеет обрабатывать рёбра с отрицательными весами, чего не может, например, алгоритм Дейкстры). Его сложность: $O(n^3)$, где n — количество вершин в графе. При этом, данный алгоритм легко упростить до алгоритма построения транзитивного замыкания.

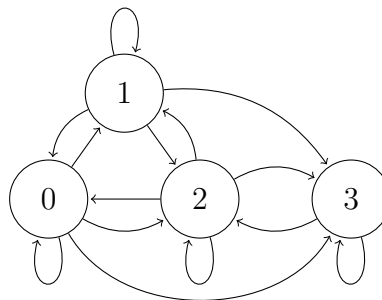
Listing 1 Алгоритм Флойда-Уоршелла

```
1: function FLOYDWARSHALL( $\mathcal{G}$ )
2:    $M \leftarrow$  матрица смежности  $\mathcal{G}$ 
3:    $n \leftarrow |V(\mathcal{G})|$ 
4:   for  $k = 0; k < n; k++$  do
5:     for  $i = 0; i < n; i++$  do
6:       for  $j = 0; j < n; j++$  do
7:          $M[i, j] \leftarrow \min(M[i, j], M[i, k] + M[k, j])$ 
8:   return  $M$ 
```

Пример 2.8. Пусть дан следующий граф:



Построим его транзитивное замыкание:



Remark. На самом деле, петли у вершины 3 может и не быть, т.к. это зависит от определения.

Remark. Приведем список интересных работ по APSP для ориентированных графов с вещественными весами (здесь n — количество вершин в графе):

- M.L. Fredman (1976) — $O(n^3(\log \log n / \log n)^{\frac{1}{3}})$ — использование дерева решений [21]
- W. Dobosiewicz (1990) — $O(n^3/\sqrt{\log n})$ — использование операций на Word Random Access Machine [19]
- T. Takaoka (1992) — $O(n^3\sqrt{\log \log n / \log n})$ — использование таблицы поиска [50]
- Y. Han (2004) — $O(n^3(\log \log n / \log n)^{\frac{5}{7}})$ [23]
- T. Takoaka (2004) — $O(n^3(\log \log n)^2 / \log n)$ [51]
- T. Takoaka (2005) — $O(n^3 \log \log n / \log n)$ [52]
- U. Zwick (2004) — $O(n^3\sqrt{\log \log n / \log n})$ [62]
- T.M. Chan (2006) — $O(n^3 / \log n)$ — многомерный принцип “разделяй и властвуй” [15]
- и др.

2.4 APSP и произведение матриц

Алгоритм Флойда-Уоршелла можно переформулировать в терминах перемножения матриц. Для этого введём обозначение.

Определение 2.7. Пусть даны матрицы A и B размера $n \times n$. Определим операцию \star , которую называют *Min-plus matrix multiplication*:

$$A \star B = C \text{ — матрица размера } n \times n, \text{ т.ч. } C[i, j] = \min_{k=1 \dots n} \{A[i, k] + B[k, j]\}$$

Также, обозначим за $D[i, j](k)$ минимальную длину пути из вершины i в j , содержащий максимум k рёбер. Таким образом, $D(1) = M$, где M — это матрица смежности, а решением APSP является $D(n-1)$, т.к. чтобы соединить n вершин требуется не больше $n-1$ рёбер.

$$\begin{aligned} D(1) &= M \\ D(2) &= D(1) \star M = M^2 \\ D(3) &= D(2) \star M = M^3 \\ &\dots \\ D(n-1) &= D(n-2) \star M = M^{n-1} \end{aligned}$$

Итак, мы можем решить APSP за $O(nK(n))$, где $K(n)$ — сложность алгоритма умножения матриц. Сразу заметим, что, например, $D(3)$ считать не обязательно, т.к. можем посчитать $D(4)$ как $D(2) \star D(2)$. Поэтому:

$$\begin{aligned} D(1) &= M \\ D(2) &= M^2 = M \star M \\ D(4) &= M^4 = M^2 \star M^2 \\ D(8) &= M^8 = M^4 \star M^4 \\ &\dots \\ D(2^{\log(n-1)}) &= M^{2^{\log(n-1)}} = M^{2^{\log(n-1)-1}} \star M^{2^{\log(n-1)-1}} \\ D(n-1) &= D(2^{\log(n-1)}) \end{aligned}$$

Теперь вместо n итераций нам нужно $\log n$. В итоге, сложность — $O(\log n K(n))$. Данный алгоритм называется *repeated squaring*¹.

¹Пример решения APSP с помощью repeated squaring: http://users.cecs.anu.edu.au/~Alistair.Rendell/Teaching/apac_comp3600/module4/all_pairs_shortest_paths.xhtml

2.5 Умножение матриц с субкубической сложностью

В предыдущем подразделе мы свели проблему APSP к проблеме min-plus matrix multiplication, поэтому взглянем на эффективные алгоритмы матричного умножения.

Сложность наивного произведения двух матриц составляет $O(n^3)$, это приемлемо только для малых матриц, для больших же лучше использовать алгоритмы с субкубической сложностью. Отметим, что мы называем сложность субкубической, если она равна $O(n^{3-\varepsilon})$, где $\varepsilon > 0$, иначе говоря, меньшей, чем $O(n^3)$.

Первый субкубический алгоритм опубликовал Ф. Штрассен в 1969 году, его сложность — $O(n^{\log_2 7}) \approx O(n^{2.81})$ [49]. Основная идея — рекурсивное разбиение на блоки 2×2 и вычисление их произведения с помощью только 7 умножений, а не 8. Впоследствии алгоритмы усовершенствовались до $\approx O(n^{2.5})$ [40, 10, 45, 17]. В настоящее время наиболее асимптотически быстрым является алгоритм Копперсмита — Винограда со сложностью $O(n^{2.376})$ [18].

Несмотря на то, что у приведенных алгоритмов неплохая алгоритмическая сложность, мы всё же не можем использовать их для вычисления min-plus matrix multiplication, так как в субкубических алгоритмах требуется, чтобы элементы образовывали кольцо. Покажем, что $\mathbb{R} \cup \{+\infty\}$ с операциями \min и $+$ являются полукольцом, а не кольцом:

1. $\min(a, b) = \min(b, a)$
2. $\min(\min(a, b), c) = \min(a, \min(b, c))$
3. $\min(a, +\infty) = \min(+\infty, a) = a$, т.е. $+\infty$ — нейтральный элемент относительно операции \min
4. $(a + b) + c = a + (b + c)$
5. $\min(a, b) + c = \min(a + c, b + c)$
6. $a + (b \vee c) = (a + b) \vee (a + c)$
7. $a + \infty = \infty + a = \infty$
8. Но для произвольного элемента a : $\nexists d$, т.ч. $\min(a, d) = \min(d, a) = +\infty$, т.е. для любого элемента нет обратного относительно операции \min

Таким образом, вопрос о субкубических алгоритмах решения APSP всё ещё открыт [16]. Кроме того, более простая задача APSP с булевыми матрицами также не решена за субкубическую сложность. Приведем обоснование этого факта.

Определение 2.8. Матрица называется *булевой*, если она состоит из 0 и 1.

Булевы матрицы с поэлементными операциями дизъюнкции и конъюнкции являются полукольцом. Покажем это: пусть A, B и C — булевы матрицы, тогда:

1. $A \vee B = B \vee A$
2. $(A \vee B) \vee C = A \vee (B \vee C)$
3. $A \vee N = N \vee A = A$, где N — матрица, полностью состоящая из 0
4. $(A \wedge B) \wedge C = A \wedge (B \wedge C)$

5. $(A \vee B) \wedge C = (A \wedge C) \vee (B \wedge C)$
6. $A \wedge (B \vee C) = (A \wedge B) \vee (A \wedge C)$
7. $A \wedge N = N \wedge A = N$

Булевы матрицы тоже не являются кольцом, т.к. не имеют обратный элемент относительно операции дизъюнкции (т.е. для произвольной булевой матрицы A : $\nexists D$, т.ч. D — булева матрица и $A \vee D = D \vee A = N$). Следовательно, субкубические алгоритмы не подходят для перемножения булевых матриц, т.к. в них используются обратные элементы (например, для разности). В частности, они не применимы к классической матрице смежности, которая ведёт себя как булева матрица.

2.6 Вопросы и задачи

1. Реализуйте алгоритм построения транзитивного замыкания через матрицы.
2. Реализовать матрицы самим.
3. Взять готовую библиотеку матричных операций: CPU, GPGPU.
4. Реализуйте поиск кратчайших путей через матричные операции.
5. Взять готовую библиотеку матричных операций: CPU, GPGPU.

3 Общие сведения теории формальных языков

В данной главе мы рассмотрим основные понятия из теории формальных языков, которые пригодятся нам в дальнейшем изложении.

Определение 3.1. *Алфавит* — это конечное множество. Элементы этого множества будем называть *символами*.

Пример 3.1. Примеры алфавитов

- Латинский алфавит $\Sigma = \{a, b, c, \dots, z\}$
- Кириллический алфавит $\Sigma = \{a, б, в, \dots, я\}$
- Алфавит чисел в шестнадцатеричной записи $\Sigma = \{0, 1, 2, 3, 4, 5, 6, 7, 8, 9, A, B, C, D, E, F\}$

Традиционное обозначение для алфавита — Σ . Также мы будем использовать различные прописные буквы латинского алфавита. Для обозначения символов алфавита будем использовать строчные буквы латинского алфавита: a, b, \dots, x, y, z .

Будем считать, что над алфавитом Σ всегда определена операция конкатенации $(\cdot) : \Sigma^* \times \Sigma^* \rightarrow \Sigma^*$. При записи выражений символ точки (обозначение операции конкатенации) часто будем опускать: $a \cdot b = ab$.

Определение 3.2. *Слово* над алфавитом Σ — это конечная конкатенация символов алфавита Σ : $\omega = a_0 \cdot a_1 \cdot \dots \cdot a_m$, где ω — слово, а для любого i $a_i \in \Sigma$.

Определение 3.3. Слово над алфавитом Σ — это результат конечной конкатенации символов алфавита Σ : $\omega = a_0 \cdot a_1 \cdot \dots \cdot a_m$, где ω — слово, а для любого i $a_i \in \Sigma$. Будем называть $m + 1$ длиной слова и обозначать как $|\omega|$.

Определение 3.4. Язык над алфавитом Σ — это множество слов над алфавитом Σ .

Пример 3.2. Примеры языков

- Язык целых чисел в двоичной записи $\{0, 1, -1, 10, 11, -10, -11, \dots\}$
- Язык всех правильных скобочных последовательностей $\{(), (()), ()(), ((()))(), \dots\}$

Любой язык над алфавитом Σ является подмножеством Σ^* — множества всех слов над алфавитом Σ

Заметим, что язык не обязан быть конечным множеством, в то время как алфавит всегда конечен и изучаем мы конечные слова.

Способы задания языков

- Перечислить все элементы. Такой способ работает только для конечных языков. Перечислить бесконечное множество не получится.
- Задать генератор — процедуру, которая возвращает очередное слово языка.
- Задать распознаватель — процедуру, которая по данному слову может определить, принадлежит оно заданному языку ли нет.

3.1 Контекстно-свободные грамматики и языки

Из всего многообразия нас будут интересовать прежде всего контекстно-свободные грамматики.

Определение 3.5. Контекстно-свободная грамматика — это четвёрка вида $\langle \Sigma, N, P, S \rangle$, где

- Σ — это терминальный алфавит;
- N — это нетерминальный алфавит;
- P — это множество правил или продукций, таких что каждая продукция имеет вид $N_i \rightarrow \alpha$, где $N_i \in N$ и $\alpha \in \{\Sigma \cup N\}^* \cup \varepsilon$;
- S — стартовый нетерминал. Отметим, что $\Sigma \cap N = \emptyset$.

Пример 3.3. Грамматика, задающая язык целых чисел в двоичной записи без лидирующих нулей: $G = \langle \{0, 1, -\}, \{S, N, A\}, P, S \rangle$, где P определено следующим образом:

$$\begin{aligned} S &\rightarrow 0 \mid N \mid -N \\ N &\rightarrow 1A \\ A &\rightarrow 0A \mid 1A \mid \varepsilon \end{aligned}$$

При спецификации грамматики часто опускают множество терминалов и нетерминалов, оставляя только множество правил. При этом нетерминалы часто обозначаются прописными латинскими буквами, терминалы — строчными, а стартовый нетерминал обозначается буквой S . Мы будем следовать этим обозначениям, если не указано иное.

Определение 3.6. *Отношение непосредственной выводимости.* Мы говорим, что последовательность терминалов и нетерминалов $\gamma\alpha\delta$ непосредственно выводится из $\gamma\beta\delta$ при помощи правила $\alpha \rightarrow \beta$ ($\gamma\alpha\delta \Rightarrow \gamma\beta\delta$), если

- $\alpha \rightarrow \beta \in P$
- $\gamma, \delta \in \{\Sigma \cup N\}^* \cup \varepsilon$

Определение 3.7. *Отношение выводимости* является рефлексивно-транзитивным замыканием отношения непосредственной выводимости

- $\alpha \xRightarrow{*} \beta$ означает $\exists \gamma_0, \dots, \gamma_k : \alpha \Rightarrow \gamma_0 \Rightarrow \gamma_1 \Rightarrow \dots \Rightarrow \gamma_{k-1} \Rightarrow \gamma_k \Rightarrow \beta$
- Транзитивность: $\forall \alpha, \beta, \gamma \in \{\Sigma \cup N\}^* \cup \varepsilon : \alpha \xRightarrow{*} \beta, \beta \xRightarrow{*} \gamma \Rightarrow \alpha \xRightarrow{*} \gamma$
- Рефлексивность: $\forall \alpha \in \{\Sigma \cup N\}^* \cup \varepsilon : \alpha \xRightarrow{*} \alpha$
- $\alpha \xRightarrow{*} \beta$ — α выводится из β
- $\alpha \xRightarrow{k} \beta$ — α выводится из β за k шагов
- $\alpha \xRightarrow{+} \beta$ — при выводе использовалось хотя бы одно правило грамматики

Пример 3.4. Пример вывода цепочки -1101 в грамматике:

$$\begin{aligned} S &\rightarrow 0 \mid N \mid -N \\ N &\rightarrow 1A \\ A &\rightarrow 0A \mid 1A \mid \varepsilon \end{aligned}$$

$$S \Rightarrow -N \Rightarrow -1A \Rightarrow -11A \xRightarrow{*} -1101A \Rightarrow -1101$$

Определение 3.8. *Рефлексивно-транзитивное замыкание отношения* — это наименьшее рефлексивное и транзитивное отношение, содержащее исходное.

Определение 3.9. *Вывод слова в грамматике.* Слово $\omega \in \Sigma^*$ выводимо в грамматике $\langle \Sigma, N, P, S \rangle$, если существует некоторый вывод этого слова из начального нетерминала $S \xRightarrow{*} \omega$.

Определение 3.10. *Левосторонний вывод.* На каждом шаге вывода заменяется самый левый нетерминал.

Пример 3.5. Пример левостороннего вывода цепочки в грамматике

$$\begin{aligned} S &\rightarrow AA \mid s \\ A &\rightarrow AA \mid Bb \mid a \\ B &\rightarrow c \mid d \end{aligned}$$

$$S \Rightarrow AA \Rightarrow BbA \Rightarrow cbA \Rightarrow cbAA \Rightarrow cbaA \Rightarrow cbaa$$

Аналогично можно определить правосторонний вывод.

Определение 3.11. *Язык, задаваемый грамматикой* — множество строк, выводимых в грамматике $L(G) = \{\omega \in \Sigma^* \mid S \xRightarrow{*} \omega\}$.

Определение 3.12. Грамматики G_1 и G_2 называются *эквивалентными*, если они задают один и тот же язык: $L(G_1) = L(G_2)$

Пример 3.6. Пример эквивалентных грамматик для языка целых чисел в двоичной системе счисления.

$\Sigma = \{0, 1, -\}$	$\Sigma = \{0, 1, -\}$
$N = \{S, N, A\}$	$N = \{S, A\}$
$S \rightarrow 0 \mid N \mid -N$	$S \rightarrow 0 \mid 1A \mid -1A$
$N \rightarrow 1A$	$A \rightarrow 0A \mid 1A \mid \varepsilon$
$A \rightarrow 0A \mid 1A \mid \varepsilon$	

Определение 3.13. *Неоднозначная грамматика* — грамматика, в которой существует 2 и более выводов для одного слова.

Пример 3.7. Неоднозначная грамматика для правильных скобочных последовательностей

$$S \rightarrow (S) \mid SS \mid \varepsilon$$

Определение 3.14. *Однозначная грамматика* — грамматика, в которой существует не более одного вывода для каждого слова.

Пример 3.8. Однозначная грамматика для правильных скобочных последовательностей

$$S \rightarrow (S)S \mid \varepsilon$$

Определение 3.15. *Существенно неоднозначные языки* — язык, для которого невозможно построить однозначную грамматику

Пример 3.9. Пример существенно неоднозначного языка

$$\{a^n b^n c^m \mid n, m \in \mathbb{Z}\} \cup \{a^n b^m c^m \mid n, m \in \mathbb{Z}\}$$

3.2 Дерево вывода

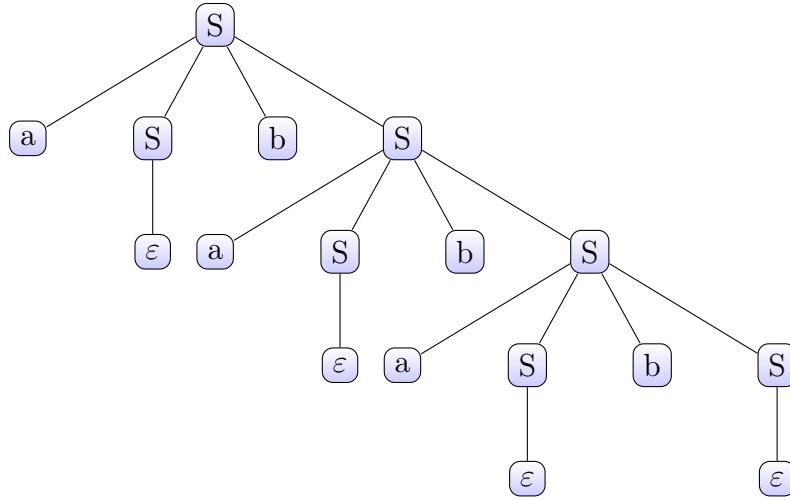
В некоторых случаях не достаточно знать порядок применения правил. Необходимо структурное представление вывода цепочки в грамматике. Таким представлением является *дерево вывода*.

Определение 3.16. Деревом вывода цепочки ω в грамматике $G = \langle \Sigma, N, S, P \rangle$ называется дерево, удовлетворяющее следующим свойствам.

1. Помеченное: метка каждого внутреннего узла — нетерминал, метка каждого листа — терминал или ε .
2. Корневое: корень помечен стартовым нетерминалом.
3. Упорядоченное.
4. В дереве есть узел с меткой N_i и сыновьями $M_j \dots M_k$ тогда и только тогда, когда в грамматике есть правило вида $N_i \rightarrow M_j \dots M_k$.
5. Крона образует цепочку.

Пример 3.10. Построим дерево вывода цепочки $ababab$ в грамматике

$$G = \langle \{a, b\}, \{S\}, S, \{S \rightarrow a S b S, S \rightarrow \varepsilon\} \rangle$$



Теорема 3.1. Пусть $G = \langle \Sigma, N, P, S \rangle$ — КС-грамматика. Вывод $S \xRightarrow{*} \alpha$, где $\alpha \in (N \cup \Sigma)^*$, $\alpha \neq \varepsilon$ существует \Leftrightarrow существует дерево вывода в грамматике G с кроной α .

3.3 Пустота КС-языка

Теорема 3.2. Существует алгоритм, определяющий, является ли язык, порождаемый КС грамматикой, пустым

Доказательство. Следующая лемма утверждает, что если в КС языке есть выводимое слово, то существует другое выводимое слово с деревом вывода не глубже количества нетерминалов грамматики. Для доказательства теоремы достаточно привести алгоритм, последовательно строящий все деревья глубины не больше количества нетерминалов грамматики, и проверяющий, являются ли такие деревья деревьями вывода. Если в результате работы алгоритма не удалось построить ни одного дерева, то грамматика порождает пустой язык. \square

Лемма 3.3. Если в данной грамматике выводится некоторая цепочка, то существует цепочка, дерево вывода которой не содержит ветвей длиннее m , где m — количество нетерминалов грамматики

Доказательство. Рассмотрим дерево вывода цепочки ω . Если в нем есть 2 узла, соответствующих одному нетерминалу A , обозначим их n_1 и n_2 .

Предположим, n_1 расположен ближе к корню дерева, чем n_2 .

$$S \xRightarrow{*} \alpha A_{n_1} \beta \xRightarrow{*} \alpha \omega_1 \beta; S \xRightarrow{*} \alpha \gamma A_{n_2} \delta \beta \xRightarrow{*} \alpha \gamma \omega_2 \delta \beta, \text{ при этом } \omega_2 \text{ является подцепочкой } \omega_1.$$

Заменим в изначальном дереве узел n_1 на n_2 . Полученное дерево является деревом вывода $\alpha \omega_2 \delta$.

Повторяем процесс замены одинаковых нетерминалов до тех пор, пока в дереве не останутся только уникальные нетерминалы.

В полученном дереве не может быть ветвей длины большей, чем m .

По построению оно является деревом вывода. \square

3.4 Нормальная форма Хомского

Определение 3.17. Контекстно-свободная грамматика $\langle \Sigma, N, P, S \rangle$ находится в *Нормальной Форме Хомского*, если она содержит только правила следующего вида:

- $A \rightarrow BC$, где $A, B, C \in N^*$
- $A \rightarrow a$, где $A \in N, a \in \Sigma$
- $S \rightarrow \varepsilon$

Теорема 3.4. Любую КС грамматику можно преобразовать в НФХ.

Доказательство. Алгоритм преобразования в НФХ состоит из следующих шагов:

- Замена неодинокных терминалов
- Удаление длинных правил
- Удаление ε -правил
- Удаление цепных правил
- Удаление бесполезных нетерминалов

То, что каждый из этих шагов преобразует грамматику к эквивалентной, при этом является алгоритмом, доказано в следующих леммах. \square

Лемма 3.5. Для любой КС-грамматики можно построить эквивалентную, которая не содержит правила с неодинокными терминалами.

Доказательство. Каждое правило $A \rightarrow B_0 B_1 \dots B_k, k \geq 1$ заменить на множество правил:

- $A \rightarrow C_0 C_1 \dots C_k$
- $\{C_i \rightarrow B_i \mid B_i \in \Sigma, C_i \text{ — новый нетерминал}\}$

\square

Лемма 3.6. Для любой КС-грамматики можно построить эквивалентную, которая не содержит правил длины больше 2.

Доказательство. Каждое правило $A \rightarrow B_0 B_1 \dots B_k, k \geq 2$ заменить на множество правил:

- $A \rightarrow B_0 C_0$
- $C_0 \rightarrow B_1 C_1$
- \dots
- $C_{k-3} \rightarrow B_{k-2} C_{k-2}$
- $C_{k-2} \rightarrow B_{k-1} B_k$

\square

Лемма 3.7. Для любой КС-грамматики можно построить эквивалентную, не содержащую ε -правил.

Доказательство. Определим ε -правила:

- $A \rightarrow \varepsilon$
- $A \rightarrow B_0 \dots B_k, \forall i : B_i \text{ — } \varepsilon\text{-правило.}$

Каждое правило $A \rightarrow B_0 B_1 \dots B_k$ заменяем на множество правил, где каждое ε -правило удалено во всех возможных комбинациях. \square

Лемма 3.8. Можно удалить все цепные правила

Лемма 3.9. Можно удалить все бесполезные нетерминалы

Пример 3.11. Приведем в Нормальную Форму Хомского однозначную грамматику правильных скобочных последовательностей: $S \rightarrow aSbS \mid \varepsilon$

Первым шагом добавим новый нетерминал и сделаем его стартовым:

$$\begin{aligned} S_0 &\rightarrow S \\ S &\rightarrow aSbS \mid \varepsilon \end{aligned}$$

Заменим все терминалы на новые нетерминалы:

$$\begin{aligned} S_0 &\rightarrow S \\ S &\rightarrow LSRS \mid \varepsilon \\ L &\rightarrow a \\ R &\rightarrow b \end{aligned}$$

Избавимся от длинных правил:

$$\begin{aligned} S_0 &\rightarrow S \\ S &\rightarrow LS' \mid \varepsilon \\ S' &\rightarrow SS'' \\ S'' &\rightarrow RS \\ L &\rightarrow a \\ R &\rightarrow b \end{aligned}$$

Избавимся от ε -продукций:

$$\begin{aligned} S_0 &\rightarrow S \mid \varepsilon \\ S &\rightarrow LS' \\ S' &\rightarrow S'' \mid SS'' \\ S'' &\rightarrow R \mid RS \\ L &\rightarrow a \\ R &\rightarrow b \end{aligned}$$

Избавимся от цепных правил:

$$\begin{aligned}
S_0 &\rightarrow LS' \mid \varepsilon \\
S &\rightarrow LS' \\
S' &\rightarrow b \mid RS \mid SS'' \\
S'' &\rightarrow b \mid RS \\
L &\rightarrow a \\
R &\rightarrow b
\end{aligned}$$

3.5 Вопросы и задачи

1. Предъявить несколько выводов для одной цепочки.
2. Построить выводы
3. Построить деревья вывода !!! Перенести из раздела про SPFF

4 Задача о поиске путей с ограничениями в терминах формальных языков

Что, откуда и зачем.

История вопроса.

4.1 Постановка задачи

Пусть нам дан конечный ориентированный помеченный граф $\mathcal{G} = \langle V, E, L \rangle$. Функция $\omega(\pi) = \omega((v_0, l_0, v_1), (v_1, l_1, v_2), \dots, (v_{n-1}, l_{n-1}, v_n)) = l_0 \cdot l_1 \cdot \dots \cdot l_{n-1}$ строит слово по пути посредством конкатенации меток рёбер вдоль этого пути. Очевидно, для пустого пути данная функция будет возвращать пустое слово, а для пути длины $n > 0$ — непустое слово длины n .

Если теперь рассматривать задачу поиска путей, то окажется, что то множество путей, которое мы хотим найти, задаёт множество слов, то есть язык. А значит, критерий поиска мы можем сформулировать следующим образом: нас интересуют такие пути, что слова из меток вдоль них принадлежат заданному языку.

Определение 4.1. *Задача поиска путей с ограничениями в терминах формальных языков* заключается в поиске множества путей $\Pi = \{\pi \mid \omega(\pi) \in \mathcal{L}\}$.

Язык \mathcal{L} может принадлежать разным классам и быть задан разными способами. Например, он может быть регулярным. Или контекстно свободным. Или многокомпонентным контекстно-свободным. Подробно мы рассмотрим случай, когда \mathcal{L} — контекстно-свободный язык.

Путь $G = \langle \Sigma, N, P \rangle$ — контекстно-свободная грамматика. Будем считать, что $L \subseteq \Sigma$. Мы не фиксируем стартовый нетерминал в определении грамматики, поэтому, чтобы описать язык, задаваемый ей, нам необходимо отдельно зафиксировать стартовый нетерминал. Таким образом, будем говорить, что $L(G, N_i) = \{w \mid N_i \xrightarrow{*}_G w\}$ — это язык задаваемый грамматикой G со стартовым нетерминалом N_i .

Задача достижимости:

Задача поиска путей:

В задаче поиска путей мы можем накладывать дополнительные ограничения на путь (например, чтобы он был простым, или кратчайшим, или Эйлеровым [30]), но это уже другая история.

4.2 О разрешимости задачи

Сведение к задаче о пересечении с регулярным.

Замкнутость регулярных.

Проверка пустоты.

Замкнутость контекстно-свободных.

Проверка пустоты.

Про другие классы языков: конъюнктивные, булевы, многокомпонентные.

4.3 Области применения

Где применяются

Статанализ. Введено Томасом Репсом [43]. Применяется для различных межпроцедурных задач [41, 8, 61].

Графовые БД. Впервые предложил Михалис Яннакакис [59].

Куча ссылок. Примеры?

4.4 Вопросы и задачи

1. Пусть есть граф. Задайте грамматику для поиска всех путей, таких, что....
2. Существует ли в графе !!! путь из А в Б, такой что!!!
3. Для графа !!! постройте все пути, удовлетворяющие !!!!
4. Задача 1
5. Задача 2

5 СУК для вычисления КС запросов

Что-то вводное про достижимость и транзитивное замыкание и т.д.

5.1 Алгоритм СҮК

Алгоритм Cocke-Younger-Kasami — один классических алгоритмов синтаксического анализа. Он требует, чтобы грамматика находилась в Нормальной Форме Хомского. Сложность алгоритма — $O(n^3)$, где n — размер входной строки.

В основе алгоритма лежит динамическое программирование. Используются следующие соображения.

Правило $A \rightarrow a$ означает, что

$$A \Rightarrow a \stackrel{*}{\Rightarrow} \omega \iff \omega = a$$

Правило $A \rightarrow BC$ означает, что

$$A \Rightarrow BC \stackrel{*}{\Rightarrow} \omega \iff \exists \omega_1, \omega_2 : \omega = \omega_1 \omega_2, B \stackrel{*}{\Rightarrow} \omega_1, C \stackrel{*}{\Rightarrow} \omega_2$$

Или в терминах позиций в строке:

$$A \Rightarrow BC \stackrel{*}{\Rightarrow} \omega \iff \exists k \in [1 \dots |\omega|] : B \stackrel{*}{\Rightarrow} \omega[1 \dots k], C \stackrel{*}{\Rightarrow} \omega[k + 1 \dots |\omega|]$$

В процессе работы алгоритма заполняется булева трехмерная матрица размера $N \times n \times n$, где n — размер входной цепочки, N — количество нетерминалов в нормализованной грамматике. $m[A][i][j] = true \iff A \stackrel{*}{\Rightarrow} \omega[i \dots j]$

Первым шагом инициализируем матрицу, заполнив значения $m[A][i][j]$, где $i = j$:

- $m[A][i][i] = true$, если в грамматике есть правило $A \rightarrow \omega[i]$.
- $m[A][i][i] = false$, иначе.

Далее используем динамику: предполагаем, что ячейки матрицы $m[A][i'][j']$ заполнены для всех нетерминалов A и пар $i', j' : j' - i' < m$. Тогда можно заполнить ячейки матрицы $m[A][i][j]$, где $j - i = m$

$$m[A][i][j] = \bigvee_{A \rightarrow BC} \bigvee_{k=i}^{j-1} m[B][i][k] \wedge m[C][k][j]$$

По итогу работы алгоритма значение в ячейке $m[S][0][|\omega|]$, где S — стартовый нетерминал грамматики, отвечает на вопрос о выводимости цепочки ω в грамматике.

Пример 5.1. Рассмотрим пример работы алгоритма СҮК на грамматике правильных скобочных последовательностей в Нормальной Форме Хомского.

$$\begin{aligned} S_0 &\rightarrow LS' \mid \varepsilon \\ S &\rightarrow LS' \\ S' &\rightarrow b \mid RS \mid SS'' \\ S'' &\rightarrow b \mid RS \\ L &\rightarrow a \\ R &\rightarrow b \end{aligned}$$

Проверим выводимость цепочки $\omega = aabbab$.

Попробуем превратить её в граф. Позиции в строке превращаются в вершины, а символы в метки на рёбрах.

Так как трехмерные матрицы рисовать на двумерной бумаге не очень удобно, мы будем иллюстрировать работу алгоритма двумерными матрицами размера $n \times n$, где в ячейках указано множество нетерминалов, выводющих соответствующую подстроку.

Инициализируем матрицу:

	a	a	b	b	a	b
	1	2	3	4	5	6
1	$\{L\}$	\emptyset	\emptyset	\emptyset	\emptyset	\emptyset
2		$\{L\}$	\emptyset	\emptyset	\emptyset	\emptyset
3			$\{R, S', S''\}$	\emptyset	\emptyset	\emptyset
4				$\{R, S', S''\}$	\emptyset	\emptyset
5					$\{L\}$	\emptyset
6						$\{R, S', S''\}$

Заполняем следующую диагональ:

	a	a	b	b	a	b
	1	2	3	4	5	6
1	$\{L\}$	\emptyset	\emptyset	\emptyset	\emptyset	\emptyset
2		$\{L\}$	$\{S\}$	\emptyset	\emptyset	\emptyset
3			$\{R, S', S''\}$	\emptyset	\emptyset	\emptyset
4				$\{R, S', S''\}$	\emptyset	\emptyset
5					$\{L\}$	$\{S\}$
6						$\{R, S', S''\}$

Заполняем следующую диагональ:

	a	a	b	b	a	b
	1	2	3	4	5	6
1	$\{L\}$	\emptyset	\emptyset	\emptyset	\emptyset	\emptyset
2		$\{L\}$	$\{S\}$	$\{S'\}$	\emptyset	\emptyset
3			$\{R, S', S''\}$	\emptyset	\emptyset	\emptyset
4				$\{R, S', S''\}$	\emptyset	$\{S', S''\}$
5					$\{L\}$	$\{S\}$
6						$\{R, S', S''\}$

Заполняем следующую диагональ:

	a	a	b	b	a	b
	1	2	3	4	5	6
1	$\{L\}$	\emptyset	\emptyset	$\{S, S_0\}$	\emptyset	\emptyset
2		$\{L\}$	$\{S\}$	$\{S'\}$	\emptyset	\emptyset
3			$\{R, S', S''\}$	\emptyset	\emptyset	\emptyset
4				$\{R, S', S''\}$	\emptyset	$\{S', S''\}$
5					$\{L\}$	$\{S\}$
6						$\{R, S', S''\}$

Заполняем следующую диагональ:

	a	a	b	b	a	b
	1	2	3	4	5	6
1	$\{L\}$	\emptyset	\emptyset	$\{S, S_0\}$	\emptyset	\emptyset
2		$\{L\}$	$\{S\}$	$\{S'\}$	\emptyset	$\{S'\}$
3			$\{R, S', S''\}$	\emptyset	\emptyset	\emptyset
4				$\{R, S', S''\}$	\emptyset	$\{S', S''\}$
5					$\{L\}$	$\{S\}$
6						$\{R, S', S''\}$

Заполняем последнюю оставшуюся ячейку:

	a	a	b	b	a	b
	1	2	3	4	5	6
1	$\{L\}$	\emptyset	\emptyset	$\{S, S_0\}$	\emptyset	$\{S, S_0\}$
2		$\{L\}$	$\{S\}$	$\{S'\}$	\emptyset	$\{S'\}$
3			$\{R, S', S''\}$	\emptyset	\emptyset	\emptyset
4				$\{R, S', S''\}$	\emptyset	$\{S', S''\}$
5					$\{L\}$	$\{S\}$
6						$\{R, S', S''\}$

Стартовый нетерминал находится в верхней правой ячейке, а значит цепочка $aabbab$ выводима в нашей грамматике.

Пример 5.2. Теперь выполним алгоритм на невыводимой цепочке $abaa$.

Инициализируем таблицу:

	a	b	a	a
	1	2	3	4
1	$\{L\}$	\emptyset	\emptyset	\emptyset
2		$\{R, S', S''\}$	\emptyset	\emptyset
3			$\{L\}$	\emptyset
4				$\{L\}$

Заполняем следующую диагональ:

	a	b	a	a
	1	2	3	4
1	$\{L\}$	$\{S, S_0\}$	\emptyset	\emptyset
2		$\{R, S', S''\}$	\emptyset	\emptyset
3			$\{L\}$	\emptyset
4				$\{L\}$

Больше ни одну ячейку в таблице заполнить нельзя, а значит эта строка не выводится в грамматике правильных скобочных последовательностей.

5.2 Алгоритм для графов на основе СΥΚ

Данный алгоритм накладывает ограничение на форму грамматики: грамматика должна быть в “ослабленной” нормальной форме Хомского 3.4. Не будем требовать отсутствия пустого и стартового в правой части.

Определение 5.1 (ослабленная нормальная форма Хомского).

Обобщение. Смотрим на транзитивное замыкание. Смотрим на СΥΚ. Замечаем, что строка — это линейный граф.

Пример 5.3. Пример. С графами, как в тензорном произведении. Отсюда и далее будем использовать один и тот же пример. Это худший случай.

Псевдокод.

5.3 Вопросы и задачи

1. Оценить сложность
2. Прогнать руками пример линейный неоднозначный
3. Прогнать руками пример граф однозначный
4. Прогнать руками пример граф неоднозначный
5. Реализовать

6 Алгоритм на матричных операциях

Введение, история вопроса.

Китайцы [60], Брэдфорд [11, 57, 14, 12], Хеллингс [24, 26, 25], OpenCypher [29].

Рассуждения про асимптотику.

Субкубический для частного случая (Брэдфорд) [13].

6.1 Матрицы для КС разбора

Вэлиант [53].

Ли [31],

6.2 Матрицы для КС запросов

Вводное. Про замыкание через произведение матриц.

Вспомниаем про то, что транзитивное замыкание можно искать через произведение матриц.

К сожалению, Вэлиант очевидным образом не обобщается на графы (с сохранением асимптотики).

Потому будем действовать наивно. Оригинальные матрицы (Рустам) [5].

Let $D = (V, E)$ be the input graph and $G = (N, \Sigma, P)$ be the input grammar.

Algorithm 2 Context-free recognizer for graphs

```

1: function CONTEXTFREEPATHQUERYING( $D, G$ )
2:    $n \leftarrow$  the number of nodes in  $D$ 
3:    $E \leftarrow$  the directed edge-relation from  $D$ 
4:    $P \leftarrow$  the set of production rules in  $G$ 
5:    $T \leftarrow$  the matrix  $n \times n$  in which each element is  $\emptyset$ 
6:   for all  $(i, x, j) \in E$  do ▷ Matrix initialization
7:      $T_{i,j} \leftarrow T_{i,j} \cup \{A \mid (A \rightarrow x) \in P\}$ 
8:   while matrix  $T$  is changing do
9:      $T \leftarrow T \cup (T \times T)$  ▷ Transitive closure  $T^{cf}$  calculation
10:  return  $T$ 

```

Пример 6.1 (Пример работы). Описание. Добавить графы, как в тензорном произведении.

$$T_0 = \begin{pmatrix} \emptyset & \{A\} & \emptyset & \{B\} \\ \emptyset & \emptyset & \{A\} & \emptyset \\ \{A\} & \emptyset & \emptyset & \emptyset \\ \{B\} & \emptyset & \emptyset & \emptyset \end{pmatrix}$$

Let T_i be the matrix T , obtained after executing the loop in the lines **8-9** of the Algorithm 2 i times. The calculation of the matrix T_1 is shown on Figure ??.

$$T_0 \times T_0 = \begin{pmatrix} \emptyset & \emptyset & \emptyset & \emptyset \\ \emptyset & \emptyset & \emptyset & \emptyset \\ \emptyset & \emptyset & \emptyset & \{S\} \\ \emptyset & \emptyset & \emptyset & \emptyset \end{pmatrix}$$

$$T_1 = T_0 \cup (T_0 \times T_0) = \begin{pmatrix} \emptyset & \{A\} & \emptyset & \{B\} \\ \emptyset & \emptyset & \{A\} & \emptyset \\ \{A\} & \emptyset & \emptyset & \{\mathbf{S}\} \\ \{B\} & \emptyset & \emptyset & \emptyset \end{pmatrix}$$

When the algorithm at some iteration finds new paths in the graph D , then it adds corresponding nonterminals to the matrix T . For example, after the first loop iteration, non-terminal S is added to the matrix T . This non-terminal is added to the element with a row index $i = 2$ and a column index $j = 3$. This means, that there is $i\pi j$ (a path π from the node 2 to the node 3), such that $S \xrightarrow{*} l(\pi)$. For example, such a path consists of two edges with labels a and b , and thus $S \xrightarrow{*} a b$.

The calculation of the transitive closure is completed after k iterations, when a fixpoint is reached: $T_{k-1} = T_k$. For the example query, $k = 13$ since $T_{13} = T_{12}$. The remaining iterations of computing the transitive closure are presented on Figure ?? (new matrix elements on each iteration are shown in bold).

$$\begin{aligned}
T_2 &= \begin{pmatrix} \emptyset & \{A\} & \emptyset & \{B\} \\ \emptyset & \emptyset & \{A\} & \emptyset \\ \{A, \mathbf{S}_1\} & \emptyset & \emptyset & \{S\} \\ \{B\} & \emptyset & \emptyset & \emptyset \end{pmatrix} & T_3 &= \begin{pmatrix} \emptyset & \{A\} & \emptyset & \{B\} \\ \{\mathbf{S}_1\} & \emptyset & \{A\} & \emptyset \\ \{A, S_1\} & \emptyset & \emptyset & \{S\} \\ \{B\} & \emptyset & \emptyset & \emptyset \end{pmatrix} & T_4 &= \begin{pmatrix} \emptyset & & & \\ \{S\} & & & \\ \{A, S\} & & & \\ \{B\} & & & \end{pmatrix} \\
T_5 &= \begin{pmatrix} \emptyset & \{A\} & \emptyset & \{B, \mathbf{S}_1\} \\ \{S\} & \emptyset & \{A\} & \{S_1\} \\ \{A, S_1\} & \emptyset & \emptyset & \{S\} \\ \{B\} & \emptyset & \emptyset & \emptyset \end{pmatrix} & T_6 &= \begin{pmatrix} \{\mathbf{S}_1\} & \{A\} & \emptyset & \{B, S\} \\ \{S\} & \emptyset & \{A\} & \{S_1\} \\ \{A, S_1\} & \emptyset & \emptyset & \{S\} \\ \{B\} & \emptyset & \emptyset & \emptyset \end{pmatrix} & T_7 &= \begin{pmatrix} \{S\} & & & \\ \{S\} & & & \\ \{A, S\} & & & \\ \{B\} & & & \end{pmatrix} \\
T_8 &= \begin{pmatrix} \{S_1\} & \{A\} & \emptyset & \{B, S\} \\ \{S\} & \emptyset & \{A\} & \{S_1\} \\ \{A, S_1, S\} & \emptyset & \emptyset & \{S, \mathbf{S}_1\} \\ \{B\} & \emptyset & \emptyset & \emptyset \end{pmatrix} & T_9 &= \begin{pmatrix} \{S_1\} & \{A\} & \emptyset & \{B, S\} \\ \{S\} & \emptyset & \{A\} & \{S_1, \mathbf{S}_1\} \\ \{A, S_1, S\} & \emptyset & \emptyset & \{S, S_1\} \\ \{B\} & \emptyset & \emptyset & \emptyset \end{pmatrix} & T_{10} &= \begin{pmatrix} \{S\} & & & \\ \{S, A\} & & & \\ \{A, S\} & & & \\ \{B\} & & & \end{pmatrix} \\
T_{11} &= \begin{pmatrix} \{S_1, \mathbf{S}_1\} & \{A\} & \emptyset & \{B, S\} \\ \{S, S_1\} & \emptyset & \{A\} & \{S_1, S\} \\ \{A, S_1, S\} & \emptyset & \emptyset & \{S, S_1\} \\ \{B\} & \emptyset & \emptyset & \emptyset \end{pmatrix} & T_{12} &= \begin{pmatrix} \{S_1, S\} & \{A\} & \emptyset & \{B, S, \mathbf{S}_1\} \\ \{S, S_1\} & \emptyset & \{A\} & \{S_1, S\} \\ \{A, S_1, S\} & \emptyset & \emptyset & \{S, S_1\} \\ \{B\} & \emptyset & \emptyset & \emptyset \end{pmatrix} & T_{13} &= \begin{pmatrix} \{S_1, S\} & & & \\ \{S, S_1\} & & & \\ \{A, S\} & & & \\ \{B\} & & & \end{pmatrix}
\end{aligned}$$

Thus, the result of the Algorithm 2 for the example query is the matrix $T_{13} = T_{12}$.

Интересные вопросы: кратчайшие пути и одно дерево (построить один путь).

6.3 Конъюнктивные и булевы граммтики

6.3.1 Определения

Охотин [37, 38, 39].

6.3.2 Для графов

Классическая семантика — работает для конъюнктивных для любых графов. Для Булевых и конъюнктивных только для графов без циклов.

Альтернативная семантика (DataLog). Трактуем конъюнкцию как в даталоге. Тогда всё хорошо. Это похоже на даталог через линейную алгебру [?]

6.4 Особенности реализации матричного алгоритма

Кое-что про наши реализации [35]

Так как множество нетерминалов и правил конечно, то мы можем свести алгоритм к булевым матрицам: для каждого нетерминала заводим матрицу, такую что в ячейке стоит true тогда и только тогда, когда в исходной матрице в соответствующе ячейке был этот нетерминал. Тогда перемножение пары таких матриц — это применение правила.

Описание модификации!

Пример 6.2. Пример работы!

С другой стороны, для небольших запросов практически может быть выгодно представлять множества нетерминалов в виде битового вектора. Нумеруем все нетерминалы с нуля, в векторе стоит 1 на i позиции если в множестве есть нетерминал с номером i . Таким образом, в каждой ячейке хранится битовый вектор длины $|N|$. Тогда операцию умножения надо определить следующим образом:

$$v_1 \times v_2 = v \mid \exists (v, v_3) \in P, \text{append}(v_1, v_2) \& v_3 = v_3,$$

где $\&$ — побитовое ‘и’. Для этого правила надо кодировать соответственно: продукция это пара, где первый элемент — битовый вектор длины N с единственной единицей в позиции, соответствующей нетерминалу в правой части, а второй элемент — вектор длины $2|N|$, с двумя единицами кодирующими первый и второй нетерминалы, соответственно.

Пример 6.3. Пример работы!

На практике в роли векторов могут выступать беззнаковые целые. Например, 32 бита под ячейки в матрице и 64 бита под правила (или 8 и 16, если запросы совсем маленькие, или 16 и 32). Тогда умножение выражается через битовые операции и сравнение.

Это может оказаться быстрее. Надо реализовать и смотреть.

Так как данные чать разрежены, то много вопросов к представлению матриц. Разреженные матрицы, плотные матрицы, GraphBLAS², GPGPU, CUTLASS³. Quad Tree [?].

Расположение в памяти: хорошо, когда всё (все матрицы, нужные для вычислений) влезло на одну карту. Хуже, когда только одна пара матриц. Ещё хуже, когда даже одна матрица не помещается.

Потому нужно пробовать распределённые решения. Например, через GraphBLAS.

6.5 Вопросы и задачи

1. !!!
2. !!!
3. !!!

7 Через тензорное произведение

Предыдущий подход позволяет выразить задачу поиска путей с ограничениями в терминах нормальных языков через набор матричных операций. Это позволяет использовать высокопроизводительные библиотеки и массовопараллельные архитектуры и вообще круто. Однако, такой подход требует, чтобы грамматика находилась в ослабленной нормальной форме Хомского, что приводит к её разрастанию. Можно ли как-то избежать этого?

В данном разделе мы попробуем предложить альтернативное сведение задачи поиска путей к матричным операциям. В результате мы сможем избежать преобразования грамматики в ОНФХ, однако, матрицы, с которыми нам придётся работать, будут существенно большего размера.

В основе подхода лежит использование рекурсивных сетей или рекурсивных автоматов в качестве представления контекстно-свободных грамматик.

²!!!

³Репозиторий библиотеки CUTLASS: <https://github.com/NVIDIA/cutlass>

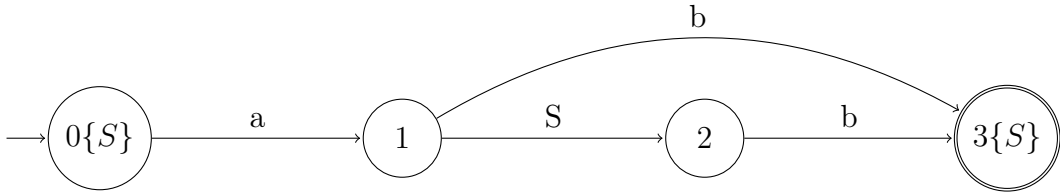
7.1 Рекурсивные автоматы и сети

Рекурсивный автомат или сеть — это представление контекстно-свободных грамматик, обобщающее конечные автоматы. В нашей работе мы будем придерживаться термина **рекурсивный автомат**. Классическое определение рекурсивного автомата выглядит следующим образом.

Определение 7.1. Рекурсивный автомат — это кортеж вида $\langle N, \Sigma, S, D \rangle$, где

- N — нетерминальный алфавит;
- Σ — терминальный алфавит;
- S — стартовый нетерминал;
- D — конечный автомат над $N \cup \Sigma$ в котором стартовые и финальные состояния помечены подмножествами N .

Построим рекурсивный автомат для грамматики !!!!



Используем стандартные обозначения для стартовых и финальных состояний. Дополнительно в стартовых и финальных состояниях укажем нетерминалы, для которых эти состояния стартовые/финальные.

В некоторых случаях рекурсивный автомат можно рассматривать как конечный автомат над смешанным алфавитом. Именно такой взгляд мы будем использовать при изложении алгоритма.

7.2 Тензорное произведение

Тензорное произведение матриц или произведение Кронекера — это бинарная операция, обозначаемая \otimes и определяемая следующим образом.

Определение 7.2. Пусть даны две матрицы: A размера $m \times n$ и B размера $p \times q$. Произведение Кронекера или тензорное произведение матриц A и B — это блочная матрица C размера $mp \times nq$, вычисляемая следующим образом:

$$C = A \otimes B = \begin{pmatrix} A_{0,0}B & \cdots & A_{0,n-1}B \\ \vdots & \ddots & \vdots \\ A_{m-1,0}B & \cdots & A_{m-1,n-1}B \end{pmatrix}$$

Пример 7.1.

$$\begin{aligned}
 \begin{pmatrix} 1 & 2 \\ 3 & 4 \end{pmatrix} \otimes \begin{pmatrix} 5 & 6 & 7 & 8 \\ 9 & 10 & 11 & 12 \\ 13 & 14 & 15 & 16 \end{pmatrix} &= \begin{pmatrix} 1 \begin{pmatrix} 5 & 6 & 7 & 8 \\ 9 & 10 & 11 & 12 \\ 13 & 14 & 15 & 16 \end{pmatrix} & 2 \begin{pmatrix} 5 & 6 & 7 & 8 \\ 9 & 10 & 11 & 12 \\ 13 & 14 & 15 & 16 \end{pmatrix} \\ 3 \begin{pmatrix} 5 & 6 & 7 & 8 \\ 9 & 10 & 11 & 12 \\ 13 & 14 & 15 & 16 \end{pmatrix} & 4 \begin{pmatrix} 5 & 6 & 7 & 8 \\ 9 & 10 & 11 & 12 \\ 13 & 14 & 15 & 16 \end{pmatrix} \end{pmatrix} = \\
 &= \begin{pmatrix} 5 & 6 & 7 & 8 & 10 & 12 & 14 & 16 \\ 9 & 10 & 11 & 12 & 18 & 20 & 22 & 24 \\ 13 & 14 & 15 & 16 & 26 & 28 & 30 & 32 \\ 15 & 18 & 21 & 24 & 20 & 24 & 28 & 32 \\ 27 & 30 & 33 & 36 & 36 & 40 & 44 & 48 \\ 39 & 42 & 45 & 48 & 52 & 56 & 60 & 64 \end{pmatrix} \quad (1)
 \end{aligned}$$

Заметим, что для определения тензорного произведения матриц достаточно определить операцию умножения на элементах исходных матриц. Также отметим, что произведение Кронекера не является коммутативной. При этом всегда существуют такие две матрицы перестановок P и Q , что $A \otimes B = P(B \otimes A)Q$. Это свойство потребуется нам в дальнейшем.

Теперь перейдём к графам. Сперва дадим классическое определение тензорного произведения двух неориентированных графов.

Определение 7.3. Пусть даны два графа: $\mathcal{G}_1 = \langle V_1, E_1 \rangle$ и $\mathcal{G}_2 = \langle V_2, E_2 \rangle$. Тензорным произведением этих графов будем называть граф $\mathcal{G}_3 = \langle V_3, E_3 \rangle$, где $V_3 = V_1 \times V_2$, $E_3 = \{((v_1, v_2), (u_1, u_2)) \mid (v_1, u_1) \in E_1 \text{ и } (v_2, u_2) \in E_2\}$.

Иными словами, тензорным произведением двух графов является граф, такой что:

1. множество вершин — это прямое произведение множеств вершин исходных графов;
2. ребро между вершинами $v = (v_1, v_2)$ и $u = (u_1, u_2)$ существует тогда и только тогда, когда существуют рёбра между парами вершин v_1, u_1 и v_2, u_2 в соответствующих графах.

Для того, чтобы построить тензорное произведение ориентированных графов, необходимо в предыдущем определении, в условии существования ребра в результирующем графе, дополнительно потребовать, чтобы направления рёбер совпадали. Данное требование получается естественным образом, если считать, что пары вершин, задающие ребро упорядочены, поэтому формальное определение отличаться не будет.

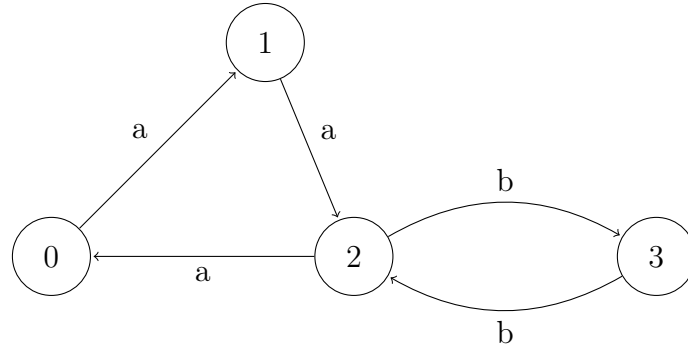
Осталось добавить метки к рёбрам. Это приведёт к логичному усилению требования к существованию ребра: метки рёбер в исходных графах должны совпадать. Таким образом, мы получаем следующее определение тензорного произведения ориентированных графов с метками на рёбрах.

Определение 7.4. Пусть даны два ориентированных графа с метками на рёбрах: $\mathcal{G}_1 = \langle V_1, E_1, L_1 \rangle$ и $\mathcal{G}_2 = \langle V_2, E_2, L_2 \rangle$. Тензорным произведением этих графов будем называть граф $\mathcal{G}_3 = \langle V_3, E_3, L_3 \rangle$, где $V_3 = V_1 \times V_2$, $E_3 = \{((v_1, v_2), l, (u_1, u_2)) \mid (v_1, l, u_1) \in E_1 \text{ и } (v_2, l, u_2) \in E_2\}$, $L_3 = L_1 \cap L_2$.

Нетрудно заметить, что матрица смежности графа \mathcal{G}_3 равна тензорному произведению матриц смежностей исходных графов \mathcal{G}_1 и \mathcal{G}_2 .

Рассмотрим пример. В качестве одного из графов возьмём рекурсивный автомат, построенный ранее!!!. Его матрица смежности выглядит следующим образом.

$$M_1 = \begin{pmatrix} \cdot & [a] & \cdot & \cdot \\ \cdot & \cdot & [S] & [b] \\ \cdot & \cdot & \cdot & [b] \\ \cdot & \cdot & \cdot & \cdot \end{pmatrix}$$



Второй граф представлен на изображении 7.2. Его матрица смежности имеет следующий вид.

$$M_2 = \begin{pmatrix} \cdot & [a] & \cdot & \cdot \\ \cdot & \cdot & [a] & \cdot \\ [a] & \cdot & \cdot & [b] \\ \cdot & \cdot & [b] & \cdot \end{pmatrix}$$

Теперь вычислим $M_1 \otimes M_2$.

$$M_3 = M_1 \otimes M_2 = \begin{pmatrix} \cdot & [a] & \cdot & \cdot \\ \cdot & \cdot & [S] & [b] \\ \cdot & \cdot & \cdot & [b] \\ \cdot & \cdot & \cdot & \cdot \end{pmatrix} \otimes \begin{pmatrix} \cdot & [a] & \cdot & \cdot \\ \cdot & \cdot & [a] & \cdot \\ [a] & \cdot & \cdot & [b] \\ \cdot & \cdot & [b] & \cdot \end{pmatrix} =$$

$$= \left(\begin{array}{cccc|cccc|cccc|cccc} \cdot & \cdot & \cdot & \cdot & \cdot & [a] & \cdot & \cdot & \cdot & \cdot & \cdot & \cdot & \cdot & \cdot & \cdot & \cdot \\ \cdot & \cdot & \cdot & \cdot & \cdot & \cdot & [a] & \cdot & \cdot & \cdot & \cdot & \cdot & \cdot & \cdot & \cdot & \cdot \\ \cdot & \cdot & \cdot & \cdot & [a] & \cdot & \cdot & \cdot & \cdot & \cdot & \cdot & \cdot & \cdot & \cdot & \cdot & \cdot \\ \cdot & \cdot & \cdot & \cdot & \cdot & \cdot & \cdot & \cdot & \cdot & \cdot & \cdot & \cdot & \cdot & \cdot & \cdot & \cdot \\ \hline \cdot & \cdot & \cdot & \cdot & \cdot & \cdot & \cdot & \cdot & \cdot & \cdot & \cdot & \cdot & \cdot & \cdot & \cdot & \cdot \\ \cdot & \cdot & \cdot & \cdot & \cdot & \cdot & \cdot & \cdot & \cdot & \cdot & \cdot & \cdot & \cdot & \cdot & \cdot & \cdot \\ \cdot & \cdot & \cdot & \cdot & \cdot & \cdot & \cdot & \cdot & \cdot & \cdot & \cdot & \cdot & \cdot & \cdot & \cdot & \cdot \\ \cdot & \cdot & \cdot & \cdot & \cdot & \cdot & \cdot & \cdot & \cdot & \cdot & \cdot & \cdot & \cdot & \cdot & \cdot & \cdot \\ \hline \cdot & \cdot & \cdot & \cdot & \cdot & \cdot & \cdot & \cdot & \cdot & \cdot & \cdot & \cdot & \cdot & \cdot & \cdot & \cdot \\ \cdot & \cdot & \cdot & \cdot & \cdot & \cdot & \cdot & \cdot & \cdot & \cdot & \cdot & \cdot & \cdot & \cdot & \cdot & \cdot \\ \cdot & \cdot & \cdot & \cdot & \cdot & \cdot & \cdot & \cdot & \cdot & \cdot & \cdot & \cdot & \cdot & \cdot & \cdot & \cdot \\ \cdot & \cdot & \cdot & \cdot & \cdot & \cdot & \cdot & \cdot & \cdot & \cdot & \cdot & \cdot & \cdot & \cdot & \cdot & \cdot \\ \hline \cdot & \cdot & \cdot & \cdot & \cdot & \cdot & \cdot & \cdot & \cdot & \cdot & \cdot & \cdot & \cdot & \cdot & \cdot & \cdot \\ \cdot & \cdot & \cdot & \cdot & \cdot & \cdot & \cdot & \cdot & \cdot & \cdot & \cdot & \cdot & \cdot & \cdot & \cdot & \cdot \\ \cdot & \cdot & \cdot & \cdot & \cdot & \cdot & \cdot & \cdot & \cdot & \cdot & \cdot & \cdot & \cdot & \cdot & \cdot & \cdot \\ \cdot & \cdot & \cdot & \cdot & \cdot & \cdot & \cdot & \cdot & \cdot & \cdot & \cdot & \cdot & \cdot & \cdot & \cdot & \cdot \end{array} \right) \quad (2)$$

Побалуемся с некоммутативностью и перестановками.

7.3 Алгоритм

Идея алгоритма основана на обобщении пересечения двух конечных автоматов до пересечения рекурсивного автомата, построенного по грамматике, со входным графом.

Пересечение двух конечных автоматов — тензорное произведение соответствующих графов. Пересечение языков коммутативно, тензорное произведение нет, но это не страшно.

Несколько наблюдений Путь из нетерминалов и терминалов. При этом должны быть пути из терминалов. Иначе не задать язык. Будем насыщать граф рёбрами, помеченными нетерминалами.

По грамматике строим автомат. г 13

Listing 3 Поиск путей через тензорное произведение

```
1: function CONTEXTFREEPATHQUERYING( $G, \mathcal{G}$ )
2:    $N \leftarrow$  рекурсивный автомат для  $G$ 
3:    $M_1 \leftarrow$  матрица смежности  $N$ 
4:    $M_2 \leftarrow$  матрица смежности  $\mathcal{G}$ 
5:    $T \leftarrow$  the matrix  $n \times n$  in which each element is  $\emptyset$ 
6:   for all  $(i, x, j) \in E$  do ▷ Matrix initialization
7:      $T_{i,j} \leftarrow T_{i,j} \cup \{A \mid (A \rightarrow x) \in P\}$ 
8:   while matrix  $T$  is changing do
9:      $M_3 \leftarrow M_1 \otimes M_2$  ▷ Graphs intersection
10:     $M_3 \leftarrow transitiveClosure(M_3)$ 
11:    for do
12:      for do
13:        if then
14:           $Nt \leftarrow M_3[i, j] \cup \{\}$ 
15:           $m \leftarrow M_3[i, j] \cup \{\}$ 
16:           $n \leftarrow M_3[i, j] \cup \{\}$ 
17:           $M_2[n, m] \leftarrow M_2[n, m] \cup \{Nt\}$ 
18:  return  $T$ 
```

В цикле: пересекли через тензорное произведение, замкнули через обычное матричное произведение, чтобы найти пути из начальной в конечную в грамматике, поставили в соответствующие ячейки нетерминалы, добавили соответствующие рёбра в исходный граф.

Можно вычислять только разницу. Для этого, правда, потребуется держать ещё одну матрицу. И надо проверять, что вычислительно дешевле: поддерживать разницу и потом каждый раз поэлементно складывать две матрицы или каждый раз вычислять полностью произведение.

Всего несколько матриц. Разреженные. Необходимо отметить, что для реальных графов и запросов результат тензорного произведения будет очень разрежен. На готовых либах должно быть быстро.

7.4 Примеры

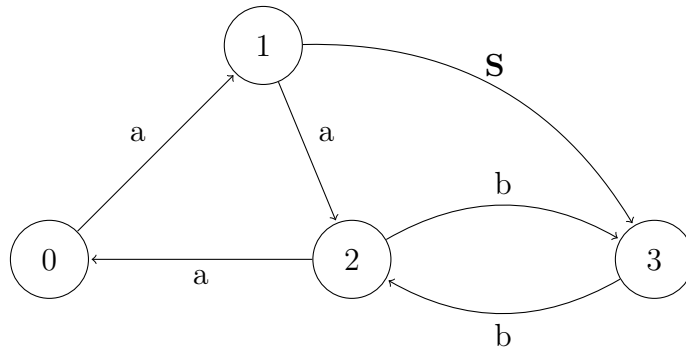
Рассмотрим подробно ряд примеров работы описанного алгоритма. Будем для каждой итерации внешнего цикла выписывать результаты основных операций: тензорного произведения, транзитивного замыкания, обновления матрицы смежности входного графа. Новые, по сравнению с предыдущим состоянием, элементы матриц будем выделять жирным.

Пример 7.2. Теоретический худший случай. Такой же как и для матричного.

Итерация 1 (конец). Начало в разделе!!!, где мы вычислили тензорное произведение матриц смежности. Теперь нам осталось только вычислить транзитивное замыкание полученной матрицы.

$$tc(M_3) = \left(\begin{array}{cccc|cccc|cccc|cccc} \cdot & \cdot & \cdot & \cdot & \cdot & [a] & \cdot & \cdot & \cdot & \cdot & \cdot & \cdot & \cdot & \cdot & \cdot & \cdot \\ \cdot & \cdot & \cdot & \cdot & \cdot & \cdot & \cdot & [a] & \cdot & \cdot & \cdot & \cdot & \cdot & \cdot & \cdot & [ab] \\ \cdot & \cdot & \cdot & \cdot & [a] & \cdot & \cdot & \cdot & \cdot & \cdot & \cdot & \cdot & \cdot & \cdot & \cdot & \cdot \\ \cdot & \cdot & \cdot & \cdot & \cdot & \cdot & \cdot & \cdot & \cdot & \cdot & \cdot & \cdot & \cdot & \cdot & \cdot & \cdot \\ \hline \cdot & \cdot & \cdot & \cdot & \cdot & \cdot & \cdot & \cdot & \cdot & \cdot & \cdot & \cdot & \cdot & \cdot & \cdot & \cdot \\ \cdot & \cdot & \cdot & \cdot & \cdot & \cdot & \cdot & \cdot & \cdot & \cdot & \cdot & \cdot & \cdot & \cdot & \cdot & \cdot \\ \cdot & \cdot & \cdot & \cdot & \cdot & \cdot & \cdot & \cdot & \cdot & \cdot & \cdot & \cdot & \cdot & \cdot & \cdot & [b] \\ \cdot & \cdot & \cdot & \cdot & \cdot & \cdot & \cdot & \cdot & \cdot & \cdot & \cdot & \cdot & \cdot & [b] & \cdot & \cdot \\ \hline \cdot & \cdot & \cdot & \cdot & \cdot & \cdot & \cdot & \cdot & \cdot & \cdot & \cdot & \cdot & \cdot & \cdot & \cdot & \cdot \\ \cdot & \cdot & \cdot & \cdot & \cdot & \cdot & \cdot & \cdot & \cdot & \cdot & \cdot & \cdot & \cdot & \cdot & \cdot & \cdot \\ \cdot & \cdot & \cdot & \cdot & \cdot & \cdot & \cdot & \cdot & \cdot & \cdot & \cdot & \cdot & \cdot & \cdot & \cdot & \cdot \\ \cdot & \cdot & \cdot & \cdot & \cdot & \cdot & \cdot & \cdot & \cdot & \cdot & \cdot & \cdot & \cdot & \cdot & \cdot & \cdot \\ \hline \cdot & \cdot & \cdot & \cdot & \cdot & \cdot & \cdot & \cdot & \cdot & \cdot & \cdot & \cdot & \cdot & \cdot & \cdot & \cdot \\ \cdot & \cdot & \cdot & \cdot & \cdot & \cdot & \cdot & \cdot & \cdot & \cdot & \cdot & \cdot & \cdot & \cdot & \cdot & \cdot \\ \cdot & \cdot & \cdot & \cdot & \cdot & \cdot & \cdot & \cdot & \cdot & \cdot & \cdot & \cdot & \cdot & \cdot & \cdot & \cdot \\ \cdot & \cdot & \cdot & \cdot & \cdot & \cdot & \cdot & \cdot & \cdot & \cdot & \cdot & \cdot & \cdot & \cdot & \cdot & \cdot \end{array} \right) \quad (3)$$

Мы видим, что в результате транзитивного замыкания появилось новое ребро с меткой ab из вершины $(0, 1)$ в вершину $(3, 3)$. Так как вершина 0 является стартовой в рекурсивном автомате, а 3 является финальной, то слово вдоль пути из вершины 1 в вершину 3 во входном графе выводимо из нетерминала S . Это означает, что в графе должно быть добавлено ребро из 0 в 3 с меткой S , после чего граф будет выглядеть следующим образом:



Матрица смежности обновлённого графа:

$$M_2 = \begin{pmatrix} \cdot & [a] & \cdot & \cdot \\ \cdot & \cdot & [a] & [S] \\ [a] & \cdot & \cdot & [b] \\ \cdot & \cdot & [b] & \cdot \end{pmatrix}$$

Итерация закончена. Возвращаемся к началу цикла и вновь вычисляем тензорное произведение.

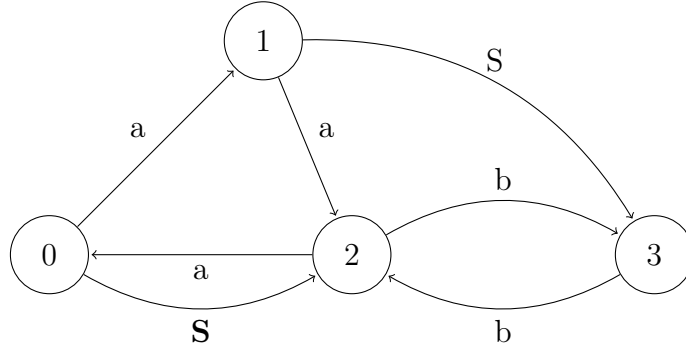
Итерация 2. Вычисляем тензорное произведение матриц смежности.

[illegible]

Вычисляем транзитивное замыкание полученной матрицы:

[illegible]

В транзитивном замыкании появилось три новых ребра, лжнако только одно из них соединяет вершины, соответствующие сартовому и конечному состоянию входного рекурсивного автомата. Только это ребро должно быть соответствующим образом добавлено во входной граф. В итоге, обновлённый граф:



И его матрица смежности:

$$M_2 = \begin{pmatrix} \cdot & [a] & [S] & \cdot \\ \cdot & \cdot & [a] & [S] \\ [a] & \cdot & \cdot & [b] \\ \cdot & \cdot & [b] & \cdot \end{pmatrix}$$

Итерация 3. Снова начинаем с тензорного произведения.

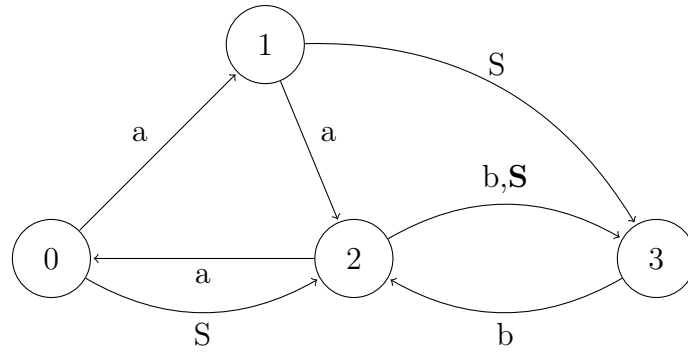
$$M_3 = M_1 \otimes M_2 = \begin{pmatrix} \cdot & [a] & \cdot & \cdot \\ \cdot & \cdot & [S] & [b] \\ \cdot & \cdot & \cdot & [b] \\ \cdot & \cdot & \cdot & \cdot \end{pmatrix} \otimes \begin{pmatrix} \cdot & [a] & [S] & \cdot \\ \cdot & \cdot & [a] & [S] \\ [a] & \cdot & \cdot & [b] \\ \cdot & \cdot & [b] & \cdot \end{pmatrix} =$$

$$= \begin{pmatrix} \cdot & \cdot & \cdot & \cdot & \cdot & [a] & \cdot & \cdot & \cdot & \cdot & \cdot & \cdot & \cdot & \cdot & \cdot & \cdot \\ \cdot & \cdot & \cdot & \cdot & \cdot & \cdot & [a] & \cdot & \cdot & \cdot & \cdot & \cdot & \cdot & \cdot & \cdot & \cdot \\ \cdot & \cdot & \cdot & \cdot & \cdot & [a] & \cdot & \cdot & \cdot & \cdot & \cdot & \cdot & \cdot & \cdot & \cdot & \cdot \\ \cdot & \cdot & \cdot & \cdot & \cdot & \cdot & \cdot & \cdot & \cdot & \cdot & \cdot & \cdot & \cdot & \cdot & \cdot & \cdot \\ \cdot & \cdot & \cdot & \cdot & \cdot & \cdot & \cdot & \cdot & \cdot & \cdot & \cdot & \cdot & \cdot & \cdot & \cdot & \cdot \\ \cdot & \cdot & \cdot & \cdot & \cdot & \cdot & \cdot & \cdot & \cdot & \cdot & \cdot & \cdot & \cdot & \cdot & \cdot & \cdot \\ \cdot & \cdot & \cdot & \cdot & \cdot & \cdot & \cdot & \cdot & \cdot & \cdot & \cdot & \cdot & \cdot & \cdot & \cdot & \cdot \\ \cdot & \cdot & \cdot & \cdot & \cdot & \cdot & \cdot & \cdot & \cdot & \cdot & \cdot & \cdot & \cdot & \cdot & \cdot & \cdot \\ \cdot & \cdot & \cdot & \cdot & \cdot & \cdot & \cdot & \cdot & \cdot & \cdot & \cdot & \cdot & \cdot & \cdot & \cdot & \cdot \\ \cdot & \cdot & \cdot & \cdot & \cdot & \cdot & \cdot & \cdot & \cdot & \cdot & \cdot & \cdot & \cdot & \cdot & \cdot & \cdot \\ \cdot & \cdot & \cdot & \cdot & \cdot & \cdot & \cdot & \cdot & \cdot & \cdot & \cdot & \cdot & \cdot & \cdot & \cdot & \cdot \\ \cdot & \cdot & \cdot & \cdot & \cdot & \cdot & \cdot & \cdot & \cdot & \cdot & \cdot & \cdot & \cdot & \cdot & \cdot & \cdot \\ \cdot & \cdot & \cdot & \cdot & \cdot & \cdot & \cdot & \cdot & \cdot & \cdot & \cdot & \cdot & \cdot & \cdot & \cdot & \cdot \end{pmatrix} \quad (6)$$

Затем вычисляем транзитивное замыкание:

$$tc(M_3) = \left(\begin{array}{c|c|c|c} \begin{matrix} \cdot & \cdot & \cdot & \cdot \\ \cdot & \cdot & \cdot & \cdot \\ \cdot & \cdot & \cdot & \cdot \\ \cdot & \cdot & \cdot & \cdot \end{matrix} & \begin{matrix} \cdot & [a] & \cdot & \cdot \\ \cdot & \cdot & [a] & \cdot \\ [a] & \cdot & \cdot & \cdot \\ \cdot & \cdot & \cdot & \cdot \end{matrix} & \begin{matrix} \cdot & \cdot & \cdot & [aS] \\ \cdot & \cdot & \cdot & \cdot \\ \cdot & \cdot & [aS] & \cdot \\ \cdot & \cdot & \cdot & \cdot \end{matrix} & \begin{matrix} \cdot & \cdot & [aSb] & \cdot \\ \cdot & \cdot & \cdot & [ab] \\ \cdot & \cdot & \cdot & [aSb] \\ \cdot & \cdot & \cdot & \cdot \end{matrix} \\ \hline \begin{matrix} \cdot & \cdot & \cdot & \cdot \\ \cdot & \cdot & \cdot & \cdot \\ \cdot & \cdot & \cdot & \cdot \\ \cdot & \cdot & \cdot & \cdot \end{matrix} & \begin{matrix} \cdot & \cdot & \cdot & \cdot \\ \cdot & \cdot & \cdot & \cdot \\ \cdot & \cdot & \cdot & \cdot \\ \cdot & \cdot & \cdot & \cdot \end{matrix} & \begin{matrix} \cdot & \cdot & [S] & \cdot \\ \cdot & \cdot & \cdot & [S] \\ \cdot & \cdot & \cdot & \cdot \\ \cdot & \cdot & \cdot & \cdot \end{matrix} & \begin{matrix} \cdot & \cdot & \cdot & [Sb] \\ \cdot & \cdot & [Sb] & \cdot \\ \cdot & \cdot & \cdot & [b] \\ \cdot & \cdot & [b] & \cdot \end{matrix} \\ \hline \begin{matrix} \cdot & \cdot & \cdot & \cdot \\ \cdot & \cdot & \cdot & \cdot \\ \cdot & \cdot & \cdot & \cdot \\ \cdot & \cdot & \cdot & \cdot \end{matrix} & \begin{matrix} \cdot & \cdot & \cdot & \cdot \\ \cdot & \cdot & \cdot & \cdot \\ \cdot & \cdot & \cdot & \cdot \\ \cdot & \cdot & \cdot & \cdot \end{matrix} & \begin{matrix} \cdot & \cdot & \cdot & \cdot \\ \cdot & \cdot & \cdot & \cdot \\ \cdot & \cdot & \cdot & \cdot \\ \cdot & \cdot & \cdot & \cdot \end{matrix} & \begin{matrix} \cdot & \cdot & \cdot & \cdot \\ \cdot & \cdot & \cdot & \cdot \\ \cdot & \cdot & \cdot & [b] \\ \cdot & \cdot & [b] & \cdot \end{matrix} \\ \hline \begin{matrix} \cdot & \cdot & \cdot & \cdot \\ \cdot & \cdot & \cdot & \cdot \\ \cdot & \cdot & \cdot & \cdot \\ \cdot & \cdot & \cdot & \cdot \end{matrix} & \begin{matrix} \cdot & \cdot & \cdot & \cdot \\ \cdot & \cdot & \cdot & \cdot \\ \cdot & \cdot & \cdot & \cdot \\ \cdot & \cdot & \cdot & \cdot \end{matrix} & \begin{matrix} \cdot & \cdot & \cdot & \cdot \\ \cdot & \cdot & \cdot & \cdot \\ \cdot & \cdot & \cdot & \cdot \\ \cdot & \cdot & \cdot & \cdot \end{matrix} & \begin{matrix} \cdot & \cdot & \cdot & \cdot \\ \cdot & \cdot & \cdot & \cdot \\ \cdot & \cdot & \cdot & \cdot \\ \cdot & \cdot & \cdot & \cdot \end{matrix} \end{array} \right) \quad (7)$$

И наконец обновляем граф:

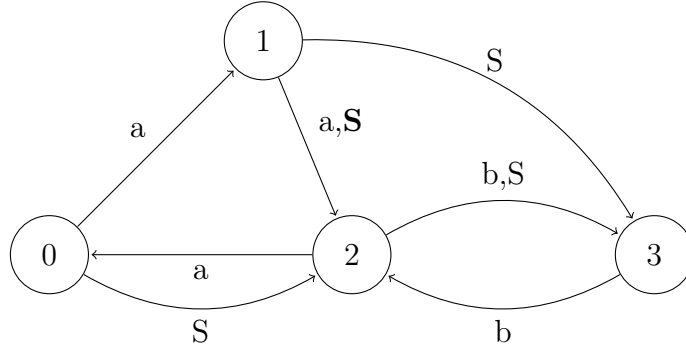


Матрица смежности обновлённого графа:

$$M_2 = \begin{pmatrix} \cdot & [a] & [S] & \cdot \\ \cdot & \cdot & [a] & [S] \\ [a] & \cdot & \cdot & [b, S] \\ \cdot & \cdot & [b] & \cdot \end{pmatrix}$$

Уже можно заметить закономерность: на каждой итерации мы добавляем ровно одно новое ребро во входной граф. То есть находим ровно одну новую пару вершин, между которыми существует интересующий нас путь. Попробуйте спрогнозировать, сколько итераций нам ещё осталось сделать.

Итерауия 4. Продолжаем. Вычисляем тензорное произведение.



Матрица смежности обновлённого графа:

$$M_2 = \begin{pmatrix} \cdot & [a] & [S] & \cdot \\ \cdot & \cdot & [a, \mathbf{S}] & [S] \\ [a] & \cdot & \cdot & [b, S] \\ \cdot & \cdot & [b] & \cdot \end{pmatrix}$$

Итерация 5. Приступаем к выполнению следующей итерации основного цикла. Вычисляем тензорное произведение.

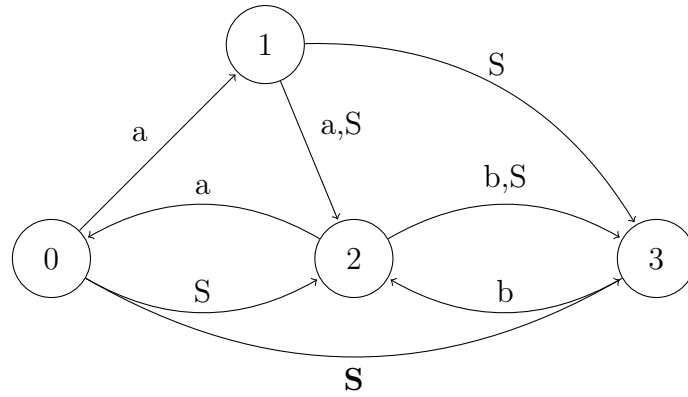
$$M_3 = M_1 \otimes M_2 = \begin{pmatrix} \cdot & [a] & \cdot & \cdot \\ \cdot & \cdot & [S] & [b] \\ \cdot & \cdot & \cdot & [b] \\ \cdot & \cdot & \cdot & \cdot \end{pmatrix} \otimes \begin{pmatrix} \cdot & [a] & [S] & \cdot \\ \cdot & \cdot & [a, S] & [S] \\ [a] & \cdot & \cdot & [b, S] \\ \cdot & \cdot & [b] & \cdot \end{pmatrix} =$$

$$= \begin{pmatrix} \cdot & \cdot & \cdot & \cdot & \cdot & [a] & \cdot & \cdot & \cdot & \cdot & \cdot & \cdot & \cdot & \cdot & \cdot & \cdot \\ \cdot & \cdot & \cdot & \cdot & \cdot & \cdot & [a] & \cdot & \cdot & \cdot & \cdot & \cdot & \cdot & \cdot & \cdot & \cdot \\ \cdot & \cdot & \cdot & \cdot & \cdot & [a] & \cdot & \cdot & \cdot & \cdot & \cdot & \cdot & \cdot & \cdot & \cdot & \cdot \\ \cdot & \cdot & \cdot & \cdot & \cdot & \cdot & \cdot & \cdot & \cdot & \cdot & \cdot & \cdot & \cdot & \cdot & \cdot & \cdot \\ \cdot & \cdot & \cdot & \cdot & \cdot & \cdot & \cdot & \cdot & \cdot & \cdot & \cdot & \cdot & \cdot & \cdot & \cdot & \cdot \\ \cdot & \cdot & \cdot & \cdot & \cdot & \cdot & \cdot & \cdot & \cdot & \cdot & \cdot & \cdot & \cdot & \cdot & \cdot & \cdot \\ \cdot & \cdot & \cdot & \cdot & \cdot & \cdot & \cdot & \cdot & \cdot & \cdot & \cdot & \cdot & \cdot & \cdot & \cdot & \cdot \\ \cdot & \cdot & \cdot & \cdot & \cdot & \cdot & \cdot & \cdot & \cdot & \cdot & \cdot & \cdot & \cdot & \cdot & \cdot & \cdot \\ \cdot & \cdot & \cdot & \cdot & \cdot & \cdot & \cdot & \cdot & \cdot & \cdot & \cdot & \cdot & \cdot & \cdot & \cdot & \cdot \\ \cdot & \cdot & \cdot & \cdot & \cdot & \cdot & \cdot & \cdot & \cdot & \cdot & \cdot & \cdot & \cdot & \cdot & \cdot & \cdot \\ \cdot & \cdot & \cdot & \cdot & \cdot & \cdot & \cdot & \cdot & \cdot & \cdot & \cdot & \cdot & \cdot & \cdot & \cdot & \cdot \\ \cdot & \cdot & \cdot & \cdot & \cdot & \cdot & \cdot & \cdot & \cdot & \cdot & \cdot & \cdot & \cdot & \cdot & \cdot & \cdot \\ \cdot & \cdot & \cdot & \cdot & \cdot & \cdot & \cdot & \cdot & \cdot & \cdot & \cdot & \cdot & \cdot & \cdot & \cdot & \cdot \end{pmatrix} \quad (10)$$

Затем вычисляем транзитивное замыкание:

$$tc(M_3) = \left(\begin{array}{c|c|c|c} \begin{matrix} \cdot & \cdot & \cdot & \cdot \\ \cdot & \cdot & \cdot & \cdot \\ \cdot & \cdot & \cdot & \cdot \\ \cdot & \cdot & \cdot & \cdot \end{matrix} & \begin{matrix} \cdot & [a] & \cdot & \cdot \\ \cdot & \cdot & [a] & \cdot \\ [a] & \cdot & \cdot & \cdot \\ \cdot & \cdot & \cdot & \cdot \end{matrix} & \begin{matrix} \cdot & \cdot & [\mathbf{aS}] & [aS] \\ \cdot & \cdot & \cdot & [aS] \\ \cdot & \cdot & [aS] & \cdot \\ \cdot & \cdot & \cdot & \cdot \end{matrix} & \begin{matrix} \cdot & \cdot & [aSb] & [\mathbf{aSb}] \\ \cdot & \cdot & [aSb] & [ab] \\ \cdot & \cdot & \cdot & [aSb] \\ \cdot & \cdot & \cdot & \cdot \end{matrix} \\ \hline \begin{matrix} \cdot & \cdot & \cdot & \cdot \\ \cdot & \cdot & \cdot & \cdot \\ \cdot & \cdot & \cdot & \cdot \\ \cdot & \cdot & \cdot & \cdot \end{matrix} & \begin{matrix} \cdot & \cdot & \cdot & \cdot \\ \cdot & \cdot & \cdot & \cdot \\ \cdot & \cdot & \cdot & \cdot \\ \cdot & \cdot & \cdot & \cdot \end{matrix} & \begin{matrix} \cdot & \cdot & [S] & \cdot \\ \cdot & \cdot & [S] & [S] \\ \cdot & \cdot & \cdot & [S] \\ \cdot & \cdot & \cdot & \cdot \end{matrix} & \begin{matrix} \cdot & \cdot & \cdot & [Sb] \\ \cdot & \cdot & [Sb] & [\mathbf{Sb}] \\ \cdot & \cdot & [Sb] & [b] \\ \cdot & \cdot & [b] & \cdot \end{matrix} \\ \hline \begin{matrix} \cdot & \cdot & \cdot & \cdot \\ \cdot & \cdot & \cdot & \cdot \\ \cdot & \cdot & \cdot & \cdot \\ \cdot & \cdot & \cdot & \cdot \end{matrix} & \begin{matrix} \cdot & \cdot & \cdot & \cdot \\ \cdot & \cdot & \cdot & \cdot \\ \cdot & \cdot & \cdot & \cdot \\ \cdot & \cdot & \cdot & \cdot \end{matrix} & \begin{matrix} \cdot & \cdot & \cdot & \cdot \\ \cdot & \cdot & \cdot & \cdot \\ \cdot & \cdot & \cdot & \cdot \\ \cdot & \cdot & \cdot & \cdot \end{matrix} & \begin{matrix} \cdot & \cdot & \cdot & \cdot \\ \cdot & \cdot & \cdot & \cdot \\ \cdot & \cdot & \cdot & [b] \\ \cdot & \cdot & [b] & \cdot \end{matrix} \\ \hline \begin{matrix} \cdot & \cdot & \cdot & \cdot \\ \cdot & \cdot & \cdot & \cdot \\ \cdot & \cdot & \cdot & \cdot \\ \cdot & \cdot & \cdot & \cdot \end{matrix} & \begin{matrix} \cdot & \cdot & \cdot & \cdot \\ \cdot & \cdot & \cdot & \cdot \\ \cdot & \cdot & \cdot & \cdot \\ \cdot & \cdot & \cdot & \cdot \end{matrix} & \begin{matrix} \cdot & \cdot & \cdot & \cdot \\ \cdot & \cdot & \cdot & \cdot \\ \cdot & \cdot & \cdot & \cdot \\ \cdot & \cdot & \cdot & \cdot \end{matrix} & \begin{matrix} \cdot & \cdot & \cdot & \cdot \\ \cdot & \cdot & \cdot & \cdot \\ \cdot & \cdot & \cdot & \cdot \\ \cdot & \cdot & \cdot & \cdot \end{matrix} \end{array} \right) \quad (11)$$

Обновляем граф:



Матрица смежности обновлённого графа:

$$M_2 = \begin{pmatrix} \cdot & [a] & [S] & [\mathbf{S}] \\ \cdot & \cdot & [a, S] & [S] \\ [a] & \cdot & \cdot & [b, S] \\ \cdot & \cdot & [b] & \cdot \end{pmatrix}$$

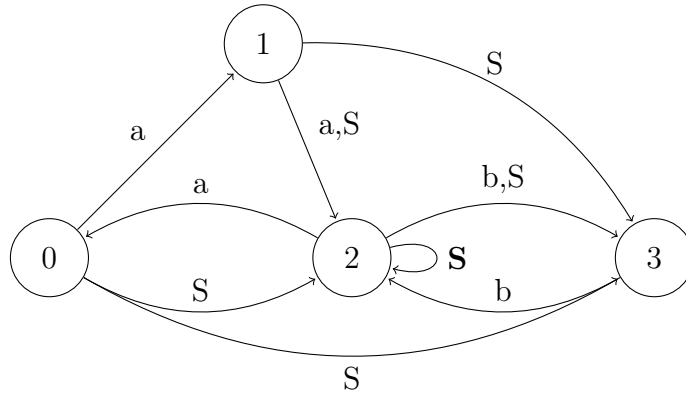
Итерация 6. И наконец последняя содержательная итерация основного цикла.

[illegible]

Транзитивное замыкание:

[illegible]

Обновлённый граф:



И матрица смежности:

$$M_2 = \begin{pmatrix} . & [a] & [S] & [S] \\ . & . & [a, S] & [S] \\ [a] & . & \mathbf{[S]} & [b, S] \\ . & . & [b] & . \end{pmatrix}$$

Следующая итерация не приведёт к изменению графа. Читатель может убедиться в этом самостоятельно. Соответственно алгоритм можно завершать. Нам потребовалось семь итераций (шесть содержательных и одна проверочная).

Матрица смежности получилась такая же, как и раньше, ответ правильный. Мы видим, что количество итераций внешнего цикла такое же как и у алгоритма !!! И ещё что-то видим и можем понять.

Пример 7.3. В данном примере мы увидим, как структура грамматики и, соответственно, рекурсивного автомата, влияет на процесс вычислений.

Интуитивно понятно, что чем меньше состояний в рекурсивной сети, тем лучше. То есть желательно получить как можно более компактное описание контекстно-свободного языка.

Для примера возьмём в качестве КС языка язык Дика на одном типе скобок и опишем его двумя различными грамматиками. Первая грамматика классическая:

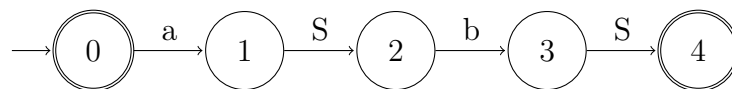
$$G_1 = \langle \{a, b\}, \{S\}, \{S \rightarrow a S b S \mid \varepsilon\} \rangle$$

Во второй грамматике мы будем использовать конструкции регулярных выражений в правой части правил. То есть вторая грамматика находится в EBNF [?].

$$G_2 = \langle \{a, b\}, \{S\}, \{S \rightarrow (a S b)^*\} \rangle$$

Построим рекурсивные автоматы N_1 и N_2 и их матрицы смежности для этих грамматик.

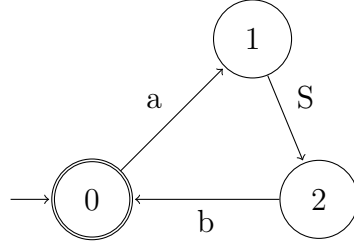
Рекурсивный автомат N_1 для грамматики G_1 :



Матрица смежности N_1 :

$$M_1^1 = \begin{pmatrix} \cdot & [a] & \cdot & \cdot & \cdot \\ \cdot & \cdot & [S] & \cdot & \cdot \\ \cdot & \cdot & \cdot & [b] & \cdot \\ \cdot & \cdot & \cdot & \cdot & [S] \\ \cdot & \cdot & \cdot & \cdot & \cdot \end{pmatrix}$$

Рекурсивный автомат N_2 для грамматики G_2 :



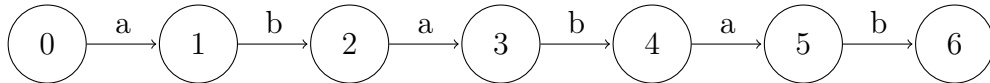
Матрица смежности N_2 :

$$M_1^2 = \begin{pmatrix} \cdot & [a] & \cdot \\ \cdot & \cdot & [S] \\ [b] & \cdot & \cdot \end{pmatrix}$$

Первое, очевидное, наблюдение — количество состояний в N_2 меньше, чем в N_1 . Это значит, что матрицы будут меньше, считать быстрее.

Для того, чтобы проще было сделать второе, сперва выполним пошагово алгоритм для двух заданных рекурсивных сетей.

Вход возьмём линейный:



Сразу дополним матрицу смежности нетерминалами, выводящими пустую строку, и получим следующую матрицу:

$$M_2 = \begin{pmatrix} [S] & [a] & \cdot & \cdot & \cdot & \cdot & \cdot \\ \cdot & [S] & [b] & \cdot & \cdot & \cdot & \cdot \\ \cdot & \cdot & [S] & [a] & \cdot & \cdot & \cdot \\ \cdot & \cdot & \cdot & [S] & [b] & \cdot & \cdot \\ \cdot & \cdot & \cdot & \cdot & [S] & [a] & \cdot \\ \cdot & \cdot & \cdot & \cdot & \cdot & [S] & [b] \\ \cdot & \cdot & \cdot & \cdot & \cdot & \cdot & [S] \end{pmatrix}$$

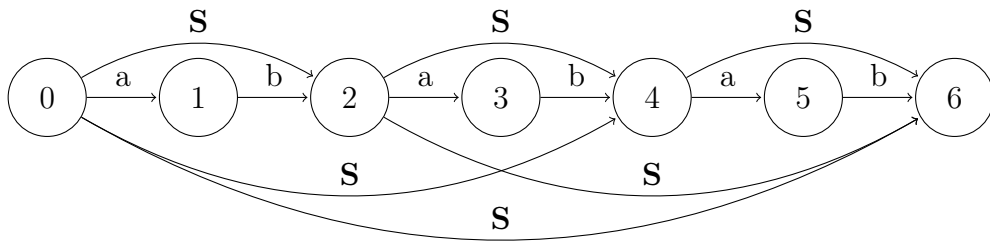
Сперва запустим алгоритм на входе и N_2 . Первый шаг первой итерации — вычисление тензорного произведения $M_1^2 \otimes M_2$.

ставим конечный результат:

$$tc(M_3) = \begin{pmatrix} \begin{array}{cccc|cccc} \cdot & \cdot & [aSb] & \cdot & [aSbaSb] & \cdot & [aSbaSbaSb] & \cdot \\ \cdot & \cdot & \cdot & \cdot & \cdot & \cdot & \cdot & \cdot \\ \cdot & \cdot & \cdot & \cdot & [aSb] & \cdot & [aSbaSb] & \cdot \\ \cdot & \cdot & \cdot & \cdot & \cdot & \cdot & \cdot & \cdot \\ \cdot & \cdot & \cdot & \cdot & \cdot & \cdot & [aSb] & \cdot \\ \cdot & \cdot & \cdot & \cdot & \cdot & \cdot & \cdot & \cdot \end{array} & \begin{array}{cccc|cccc} \cdot & [a] & \cdot & [aSba] & \cdot & [aSbaSba] & \cdot & \cdot \\ \cdot & \cdot & \cdot & \cdot & \cdot & \cdot & \cdot & \cdot \\ \cdot & \cdot & \cdot & [a] & \cdot & [aSba] & \cdot & \cdot \\ \cdot & \cdot & \cdot & \cdot & \cdot & [a] & \cdot & \cdot \\ \cdot & \cdot & \cdot & \cdot & \cdot & \cdot & \cdot & \cdot \\ \cdot & \cdot & \cdot & \cdot & \cdot & \cdot & \cdot & \cdot \end{array} & \begin{array}{cccc|cccc} \cdot & [aS] & \cdot & [aSbaS] & \cdot & [aSbaSbaS] & \cdot & \cdot \\ \cdot & \cdot & \cdot & \cdot & \cdot & \cdot & \cdot & \cdot \\ \cdot & \cdot & \cdot & [aS] & \cdot & [aSbaS] & \cdot & \cdot \\ \cdot & \cdot & \cdot & \cdot & \cdot & \cdot & [aS] & \cdot \\ \cdot & \cdot & \cdot & \cdot & \cdot & \cdot & \cdot & [aS] \\ \cdot & \cdot & \cdot & \cdot & \cdot & \cdot & \cdot & \cdot \end{array} \\ \hline \begin{array}{cccc|cccc} \cdot & \cdot & \cdot & \cdot & \cdot & \cdot & \cdot & \cdot \\ \cdot & \cdot & \cdot & \cdot & \cdot & \cdot & \cdot & \cdot \\ \cdot & \cdot & \cdot & \cdot & \cdot & \cdot & \cdot & \cdot \\ \cdot & \cdot & \cdot & \cdot & \cdot & \cdot & \cdot & \cdot \\ \cdot & \cdot & \cdot & \cdot & \cdot & \cdot & \cdot & \cdot \\ \cdot & \cdot & \cdot & \cdot & \cdot & \cdot & \cdot & \cdot \end{array} & \begin{array}{cccc|cccc} \cdot & \cdot & \cdot & \cdot & \cdot & \cdot & \cdot & \cdot \\ \cdot & \cdot & \cdot & \cdot & \cdot & \cdot & \cdot & \cdot \\ \cdot & \cdot & \cdot & \cdot & \cdot & \cdot & \cdot & \cdot \\ \cdot & \cdot & \cdot & \cdot & \cdot & \cdot & \cdot & \cdot \\ \cdot & \cdot & \cdot & \cdot & \cdot & \cdot & \cdot & \cdot \\ \cdot & \cdot & \cdot & \cdot & \cdot & \cdot & \cdot & \cdot \end{array} & \begin{array}{cccc|cccc} [S] & \cdot & \cdot & \cdot & \cdot & \cdot & \cdot & \cdot \\ [S] & \cdot & \cdot & \cdot & \cdot & \cdot & \cdot & \cdot \\ \cdot & [S] & \cdot & \cdot & \cdot & \cdot & \cdot & \cdot \\ \cdot & \cdot & [S] & \cdot & \cdot & \cdot & \cdot & \cdot \\ \cdot & \cdot & \cdot & [S] & \cdot & \cdot & \cdot & \cdot \\ \cdot & \cdot & \cdot & \cdot & [S] & \cdot & \cdot & \cdot \end{array} \\ \hline \begin{array}{cccc|cccc} \cdot & \cdot & \cdot & \cdot & \cdot & \cdot & \cdot & \cdot \\ \cdot & [b] & \cdot & \cdot & \cdot & \cdot & \cdot & \cdot \\ \cdot & \cdot & \cdot & \cdot & \cdot & \cdot & \cdot & \cdot \\ \cdot & \cdot & [b] & \cdot & \cdot & \cdot & \cdot & \cdot \\ \cdot & \cdot & \cdot & \cdot & \cdot & \cdot & \cdot & \cdot \\ \cdot & \cdot & \cdot & \cdot & [b] & \cdot & \cdot & \cdot \end{array} & \begin{array}{cccc|cccc} \cdot & \cdot & \cdot & \cdot & \cdot & \cdot & \cdot & \cdot \\ \cdot & \cdot & \cdot & \cdot & \cdot & \cdot & \cdot & \cdot \\ \cdot & \cdot & \cdot & \cdot & \cdot & \cdot & \cdot & \cdot \\ \cdot & \cdot & \cdot & \cdot & \cdot & \cdot & \cdot & \cdot \\ \cdot & \cdot & \cdot & \cdot & \cdot & \cdot & \cdot & \cdot \\ \cdot & \cdot & \cdot & \cdot & \cdot & \cdot & \cdot & \cdot \end{array} & \begin{array}{cccc|cccc} \cdot & \cdot & \cdot & \cdot & \cdot & \cdot & \cdot & \cdot \\ \cdot & \cdot & \cdot & \cdot & \cdot & \cdot & \cdot & \cdot \\ \cdot & \cdot & \cdot & \cdot & \cdot & \cdot & \cdot & \cdot \\ \cdot & \cdot & \cdot & \cdot & \cdot & \cdot & \cdot & \cdot \\ \cdot & \cdot & \cdot & \cdot & \cdot & \cdot & \cdot & \cdot \\ \cdot & \cdot & \cdot & \cdot & \cdot & \cdot & \cdot & \cdot \end{array} \end{pmatrix} \quad (15)$$

В результате вычисления транзитивного замыкания появилось большое количество новых рёбер, однако нас будут интересовать только те, информация о которых храниться в левом верхнем блоке. Остальные рёбра не соответствуют принимающим путям в рекурсивном автомате (убедитесь в этом самостоятельно).

После добавления соответствующих рёбер, мы получим следующий граф:



Его матрица смежности:

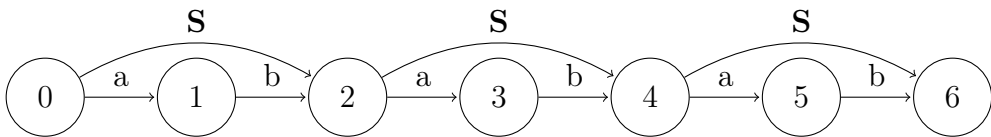
$$M_2 = \begin{pmatrix} [S] & [a] & [S] & \cdot & [S] & \cdot & [S] \\ \cdot & [S] & [b] & \cdot & \cdot & \cdot & \cdot \\ \cdot & \cdot & [S] & [a] & [S] & \cdot & [S] \\ \cdot & \cdot & \cdot & [S] & [b] & \cdot & \cdot \\ \cdot & \cdot & \cdot & \cdot & [S] & [a] & [S] \\ \cdot & \cdot & \cdot & \cdot & \cdot & [S] & [b] \\ \cdot & \cdot & \cdot & \cdot & \cdot & \cdot & [S] \end{pmatrix}$$

Теперь запустим алгоритм на второй грамматике и том же входе.

$$(16)$$

Транзитивное замыкание.

Обновлённый граф



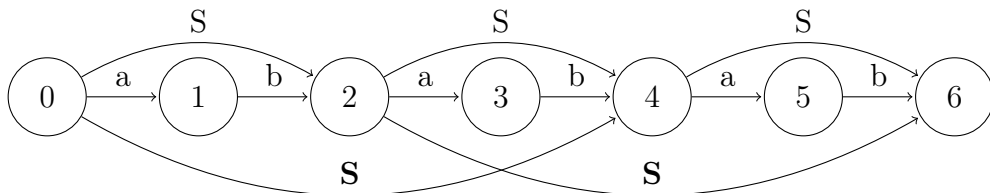
Его матрица смежности:

$$M_2 = \begin{pmatrix} [S] & [a] & [\mathbf{S}] & \cdot & \cdot & \cdot & \cdot \\ \cdot & [S] & [b] & \cdot & \cdot & \cdot & \cdot \\ \cdot & \cdot & [S] & [a] & [\mathbf{S}] & \cdot & \cdot \\ \cdot & \cdot & \cdot & [S] & [b] & \cdot & \cdot \\ \cdot & \cdot & \cdot & \cdot & [S] & [a] & [\mathbf{S}] \\ \cdot & \cdot & \cdot & \cdot & \cdot & [S] & [b] \\ \cdot & \cdot & \cdot & \cdot & \cdot & \cdot & [S] \end{pmatrix}$$

Потребуется ещё одна итерация.

$$\begin{aligned}
& tc(M_3) = \\
& = \left(\begin{array}{c|c|c|c|c}
\begin{array}{c} \dots\dots\dots [a] \dots\dots\dots \\ \dots\dots\dots [a] \dots\dots\dots \\ \dots\dots\dots [a] \dots\dots\dots \\ \dots\dots\dots \dots\dots\dots \\ \dots\dots\dots \dots\dots\dots \end{array} & \begin{array}{c} \dots\dots\dots [aS] \dots\dots\dots [aS] \dots\dots\dots \\ \dots\dots\dots \dots\dots\dots [aS] \dots\dots\dots [aS] \dots\dots\dots \\ \dots\dots\dots \dots\dots\dots [aS] \dots\dots\dots [aS] \dots\dots\dots \\ \dots\dots\dots \dots\dots\dots \dots\dots\dots \\ \dots\dots\dots \dots\dots\dots \dots\dots\dots \end{array} & \begin{array}{c} \dots\dots\dots [aSb] \dots\dots\dots [aSb] \dots\dots\dots \\ \dots\dots\dots \dots\dots\dots [aSb] \dots\dots\dots [aSb] \dots\dots\dots \\ \dots\dots\dots \dots\dots\dots [aSb] \dots\dots\dots [aSb] \dots\dots\dots \\ \dots\dots\dots \dots\dots\dots \dots\dots\dots \\ \dots\dots\dots \dots\dots\dots \dots\dots\dots \end{array} & \begin{array}{c} \dots\dots\dots [aSbS] \dots\dots\dots [aSbS] \dots\dots\dots \\ \dots\dots\dots \dots\dots\dots [aSbS] \dots\dots\dots [aSbS] \dots\dots\dots \\ \dots\dots\dots \dots\dots\dots [aSbS] \dots\dots\dots [aSbS] \dots\dots\dots \\ \dots\dots\dots \dots\dots\dots \dots\dots\dots \\ \dots\dots\dots \dots\dots\dots \dots\dots\dots \end{array} \\
\hline
\begin{array}{c} \dots\dots\dots [S] \dots\dots\dots [S] \dots\dots\dots \\ \dots\dots\dots \dots\dots\dots [S] \dots\dots\dots [S] \dots\dots\dots \\ \dots\dots\dots \dots\dots\dots [S] \dots\dots\dots [S] \dots\dots\dots \\ \dots\dots\dots \dots\dots\dots [S] \dots\dots\dots [S] \dots\dots\dots \\ \dots\dots\dots \dots\dots\dots [S] \dots\dots\dots [S] \dots\dots\dots \\ \dots\dots\dots \dots\dots\dots [S] \dots\dots\dots [S] \dots\dots\dots \end{array} & \begin{array}{c} \dots\dots\dots \dots\dots\dots \\ \dots\dots\dots \dots\dots\dots \\ \dots\dots\dots \dots\dots\dots \\ \dots\dots\dots \dots\dots\dots \\ \dots\dots\dots \dots\dots\dots \\ \dots\dots\dots \dots\dots\dots \end{array} & \begin{array}{c} \dots\dots\dots \dots\dots\dots \\ \dots\dots\dots \dots\dots\dots \\ \dots\dots\dots \dots\dots\dots \\ \dots\dots\dots \dots\dots\dots \\ \dots\dots\dots \dots\dots\dots \\ \dots\dots\dots \dots\dots\dots \end{array} & \begin{array}{c} \dots\dots\dots \dots\dots\dots \\ \dots\dots\dots \dots\dots\dots \\ \dots\dots\dots \dots\dots\dots \\ \dots\dots\dots \dots\dots\dots \\ \dots\dots\dots \dots\dots\dots \\ \dots\dots\dots \dots\dots\dots \end{array} \\
\hline
\begin{array}{c} \dots\dots\dots \dots\dots\dots \\ \dots\dots\dots \dots\dots\dots \\ \dots\dots\dots \dots\dots\dots \\ \dots\dots\dots \dots\dots\dots \\ \dots\dots\dots \dots\dots\dots \\ \dots\dots\dots \dots\dots\dots \end{array} & \begin{array}{c} \dots\dots\dots \dots\dots\dots \\ \dots\dots\dots \dots\dots\dots \\ \dots\dots\dots \dots\dots\dots \\ \dots\dots\dots \dots\dots\dots \\ \dots\dots\dots \dots\dots\dots \\ \dots\dots\dots \dots\dots\dots \end{array} & \begin{array}{c} \dots\dots\dots [b] \dots\dots\dots \\ \dots\dots\dots \dots\dots\dots [b] \dots\dots\dots \\ \dots\dots\dots \dots\dots\dots [b] \dots\dots\dots \\ \dots\dots\dots \dots\dots\dots \dots\dots\dots \\ \dots\dots\dots \dots\dots\dots \dots\dots\dots \\ \dots\dots\dots \dots\dots\dots \dots\dots\dots \end{array} & \begin{array}{c} \dots\dots\dots [S] \dots\dots\dots [S] \dots\dots\dots \\ \dots\dots\dots \dots\dots\dots [S] \dots\dots\dots [S] \dots\dots\dots \\ \dots\dots\dots \dots\dots\dots [S] \dots\dots\dots [S] \dots\dots\dots \\ \dots\dots\dots \dots\dots\dots [S] \dots\dots\dots [S] \dots\dots\dots \\ \dots\dots\dots \dots\dots\dots [S] \dots\dots\dots [S] \dots\dots\dots \\ \dots\dots\dots \dots\dots\dots [S] \dots\dots\dots [S] \dots\dots\dots \end{array} \\
\hline
\begin{array}{c} \dots\dots\dots \dots\dots\dots \\ \dots\dots\dots \dots\dots\dots \\ \dots\dots\dots \dots\dots\dots \\ \dots\dots\dots \dots\dots\dots \\ \dots\dots\dots \dots\dots\dots \\ \dots\dots\dots \dots\dots\dots \end{array} & \begin{array}{c} \dots\dots\dots \dots\dots\dots \\ \dots\dots\dots \dots\dots\dots \\ \dots\dots\dots \dots\dots\dots \\ \dots\dots\dots \dots\dots\dots \\ \dots\dots\dots \dots\dots\dots \\ \dots\dots\dots \dots\dots\dots \end{array} & \begin{array}{c} \dots\dots\dots \dots\dots\dots \\ \dots\dots\dots \dots\dots\dots \\ \dots\dots\dots \dots\dots\dots \\ \dots\dots\dots \dots\dots\dots \\ \dots\dots\dots \dots\dots\dots \\ \dots\dots\dots \dots\dots\dots \end{array} & \begin{array}{c} \dots\dots\dots \dots\dots\dots \\ \dots\dots\dots \dots\dots\dots \\ \dots\dots\dots \dots\dots\dots \\ \dots\dots\dots \dots\dots\dots \\ \dots\dots\dots \dots\dots\dots \\ \dots\dots\dots \dots\dots\dots \end{array}
\end{array} \right) \quad (19)
\end{aligned}$$

Обновлённый граф. На этом шаге мы смогли “склеить” из подстрок, вводимых из S , более длинные пути. Однако, согласно правилам грамматики, мы смогли “склеить” только две подстроки в единое целое.



Матрица смежности обновлённого графа:

$$M_2 = \begin{pmatrix} [S] & [a] & [S] & \cdot & [\mathbf{S}] & \cdot & \cdot \\ \cdot & [S] & [b] & \cdot & \cdot & \cdot & \cdot \\ \cdot & \cdot & [S] & [a] & [S] & \cdot & [\mathbf{S}] \\ \cdot & \cdot & \cdot & [S] & [b] & \cdot & \cdot \\ \cdot & \cdot & \cdot & \cdot & [S] & [a] & [S] \\ \cdot & \cdot & \cdot & \cdot & \cdot & [S] & [b] \\ \cdot & \cdot & \cdot & \cdot & \cdot & \cdot & [S] \end{pmatrix}$$

И, наконец, последняя содержательная итерация.

[illegible]

Транзитивное замыкание.

7.5 Замечания о реализации

Блочная структура матриц даёт хорошую основу для распределённого умножения при построении транзитивного замыкания.

Кодирование данных в ячейках.

Транзитивное замыкание.

7.6 Вопросы и задачи

1. Оценить пространственную сложность алгоритма.
2. Оценить временную сложность алгоритма.
3. Найти библиотеку для тензорного произведения. Реализовать алгоритм. Можно предположить, что запросы содержат ограниченное число терминалов и нетерминалов. Провести замеры. Сравнить с матричным.
4. Реализовать распределённое решение. См. блочную структуру

8 Сжатое представление леса разбора

Матричный алгоритм даёт нам ответ на вопрос о достижимости, но не предоставляет самих путей. Что делать, если мы хотим построить все пути, удовлетворяющие ограничениям?

Проблема в том, что искомое множество путей может быть бесконечным. Можем ли мы предложить конечную структуру, однозначно описывающую такое множество? Вспомним, что пересечение контекстно-свободного языка с регулярным — это контекстно-свободный язык. Мы знаем, что контекстно-свободный язык можно описать контекстно-свободной грамматикой, которая конечна. Это и есть решение нашего вопроса. Осталось только научиться строить такую грамматику.

Прежде, чем двинуться дальше, рекомендуется вспомнить всё, что касается деревьев вывода 3.2.

8.1 Лес разбора как представление контекстно-свободной грамматики

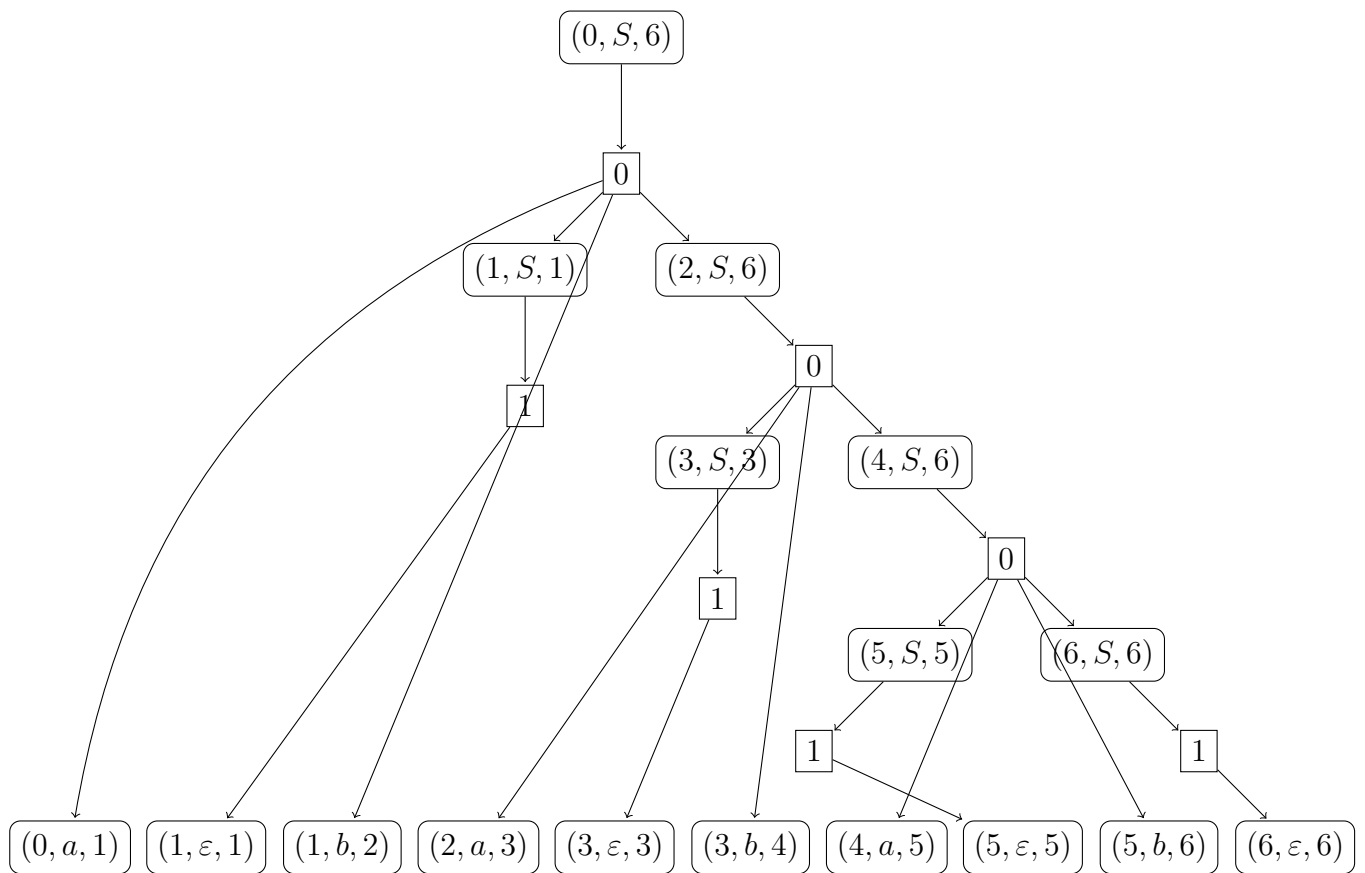
Для начала нам потребуется внести некоторые изменения в конструкцию дерева вывода.

Во-первых, заметим, что в дереве вывода каждый узел соответствует выводу какой-то подстроки с известными позициями начала и конца. Давайте будем сохранять эту информацию в узлах дерева. Таким образом, метка любого узла это тройка вида (i, q, j) , где i — координата начала подстроки, соответствующей этому узлу, j — координата конца, $q \in \Sigma \cup N$ — метка как в исходном определении.

Во-вторых, заметим, что внутренний узел со своими сыновьями связаны с продукцией в грамматике: узел появляется благодаря применению конкретной продукции в процессе вывода. Давайте занумеруем все продукции в грамматике и добавим в дерево вывода ещё один тип узлов (дополнительные узлы), в которых будем хранить номер применённой продукции. Получим следующую конструкцию: непосредственный предок дополнительного узла — это левая часть продукции, а непосредственные сыновья дополнительного узла — это правая часть продукции.

Пример 8.1. Построим модифицированное дерево вывода цепочки $_0a_1b_2a_3b_4a_5b_6$ в грамматике

$$G = \langle \{a, b\}, \{S\}, S, \{ \begin{array}{l} (0)S \rightarrow a S b S, \\ (1)S \rightarrow \varepsilon \end{array} \rangle$$

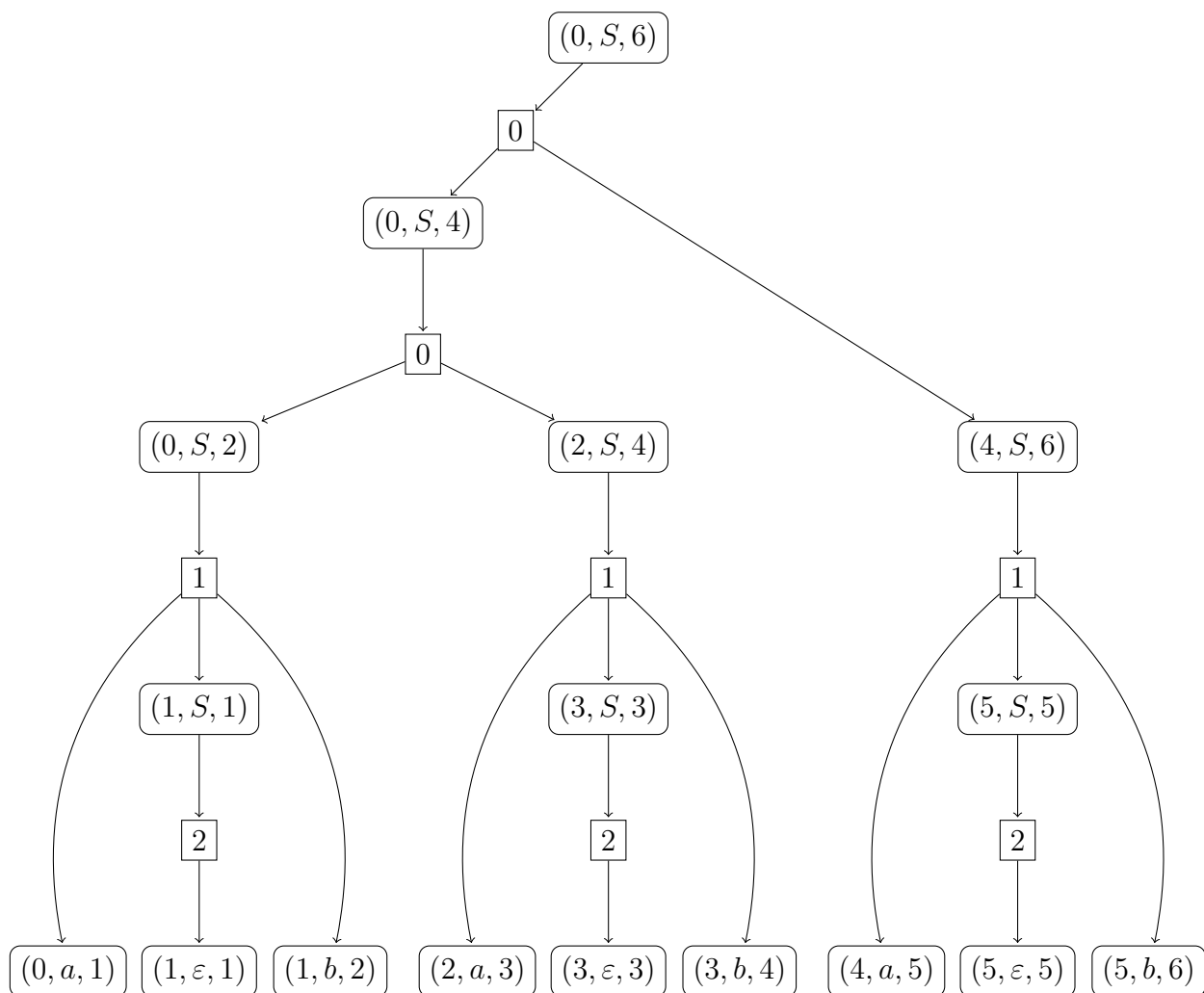


Сохраняемая нами дополнительная информация позволит переиспользовать узлы в том случае, если деревьев вывода оказалось несколько (в случае неоднозначной грамматики). При этом мы можем не бояться, что переиспользование узлов может привести к появлению ранее несуществовавших деревьев вывода, так как дополнительная информация позволяет делать только “безопасные” склейки и затем восстанавливать только корректные деревья.

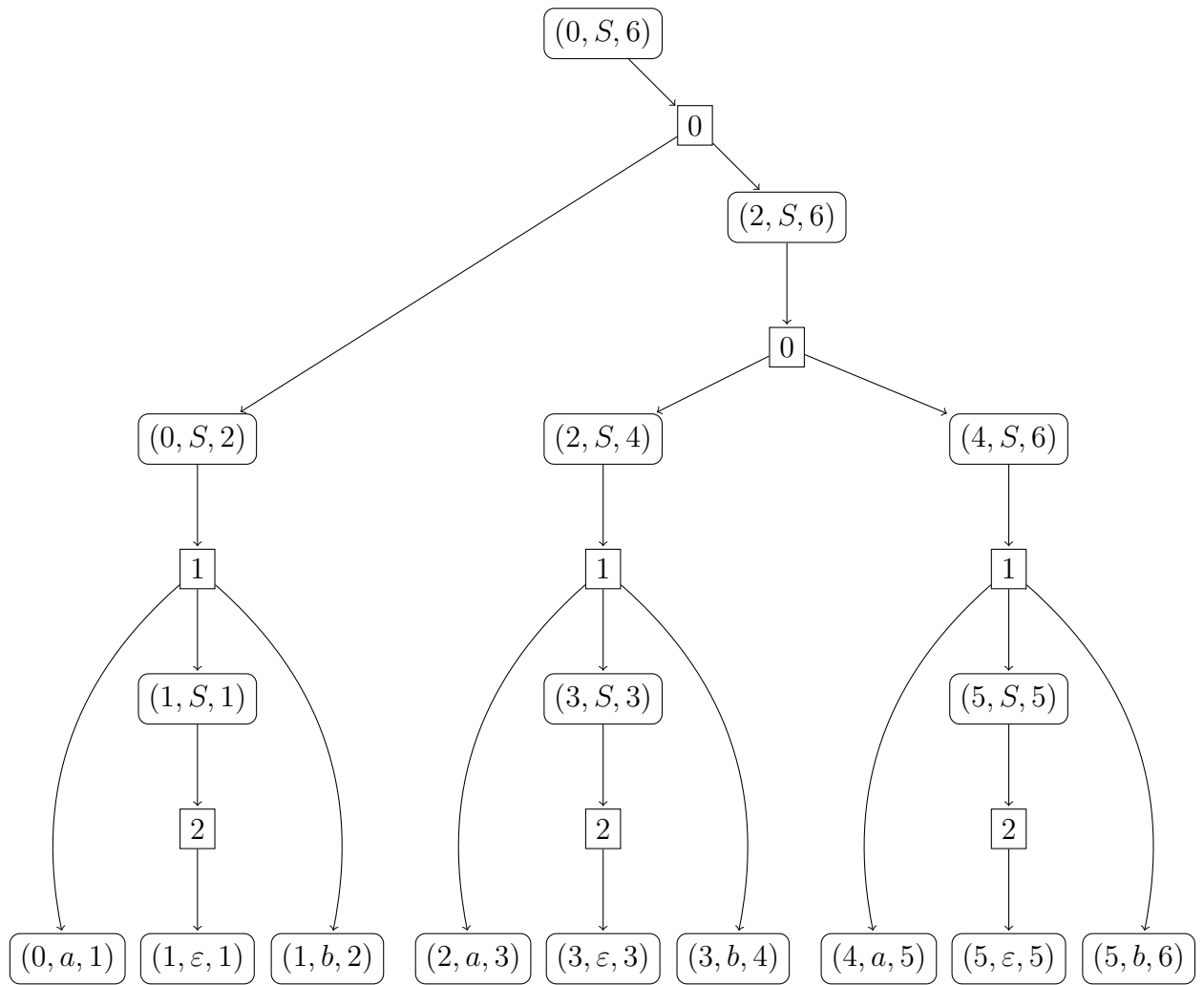
Пример 8.2. Сжатие леса вывода. Построим несколько деревьев вывода цепочки $_0a_1b_2a_3b_4a_5b_6$ в грамматике

$$G_1 = \langle \{a, b\}, \{S\}, S, \{ \begin{array}{l} (0) S \rightarrow SS, \\ (1) S \rightarrow a S b, \\ (2) S \rightarrow \varepsilon \end{array} \rangle$$

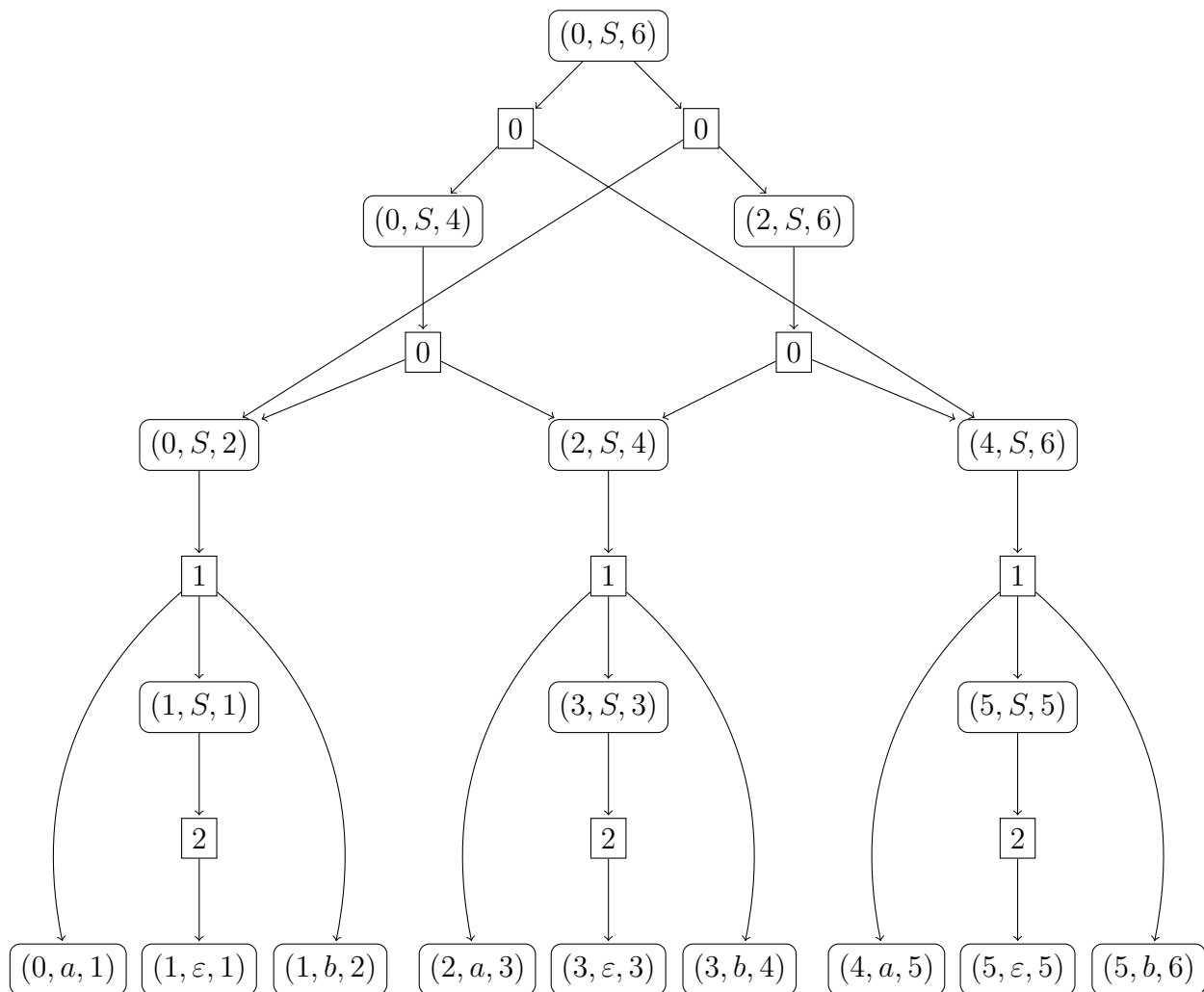
Предположим, что мы строим левосторонний вывод. Тогда после первого применения продукции 0 у нас есть два варианта переписывания первого нетерминала: либо с применением продукции 0, либо с применением продукции 1. В первом случае мы примени переписывание по подукции 0. Дальнейшие шаги деретерминированы и в результате мы получим следующее дерево разбора:



Второй вариант — применить продукцию 1. Остальные шаги также детерминированы. Тогда мы получим следующее дерево вывода:



В двух построенных деревьях большое количество одинаковых узлов. Построим структуру, которая содержит оба дерева и при этом никакие нетерминальные и терминальные узлы не встречаются дважды. В результате мы получим следующий граф:



Мы получили очень простой вариант сжатого представления леса разбора (Shared Packed Parse Forest, SPPF). Впервые подобная идея была предложена Джоаном Рекерсом в его кандидатской диссертации [42]. В дальнейшем она нашла широкое применение в обобщённом (generalized) синтаксическом анализе и получила серьёзное развитие. В частности, наш вариант, хоть и позволяет избежать экспоненциального разрастания леса разбора, всё же не является оптимальным. Оптимальное асимптотическое поведение достигается при использовании бинаризованного SPPF [9] — в этом случае объём леса составляет $O(n^3)$, где n — это длина входной строки.

SPPF применяется в таких алгоритмах синтаксического анализа, как RNGLR [46], бинаризованная версия SPPF в BRNGLR [48] и GLL [47, 2]⁴.

Вообще говоря, никто не мешает иметь в этом лесу циклы. При линейном случае тоже могут быть — эпсилон-циклы.

А у нас будут произвольные.

Давайте пока методом пристольного взгляда.

Заметим, что это грамматика..

Ну а дальше будем смотреть на алгоритмы, которые что-то такое умеют строить.

⁴Ещё немного полезной информации про SPPF: <http://www.bramvandersanden.com/post/2014/06/shared-packed-parse-forest/>.

8.2 Вопросы и задачи

1. Постройте дерево вывода цепочки $w = aababb$ в грамматике $G = \langle \{a, b\}, \{S\}, \{S \rightarrow \varepsilon \mid a S b S\}, S \rangle$.
2. Постройте все левосторонние выводы цепочки $w = ababab$ в грамматике $G = \langle \{a, b\}, \{S\}, \{S \rightarrow \varepsilon \mid a S b \mid S S\}, S \rangle$.
3. Постройте все правосторонние выводы цепочки $w = ababab$ в грамматике $G = \langle \{a, b\}, \{S\}, \{S \rightarrow \varepsilon \mid a S b \mid S S\}, S \rangle$.
4. Постройте все деревья вывода цепочки $w = ababab$ в грамматике $G = \langle \{a, b\}, \{S\}, \{S \rightarrow \varepsilon \mid a S b \mid S S\}, S \rangle$, соответствующие левосторонним выводам.
5. Постройте все деревья вывода цепочки $w = ababab$ в грамматике $G = \langle \{a, b\}, \{S\}, \{S \rightarrow \varepsilon \mid a S b \mid S S\}, S \rangle$, соответствующие правосторонним выводам.
6. Как связаны между собой леса, полученные в предыдущих двух задачах (4 и 5)? Какие выводы можно сделать из такой связи?
7. Постройте сжатое представление леса разбора, полученного в задаче 4.
8. Постройте сжатое представление леса разбора, полученного в задаче 5.
9. Предъявите контекстно-свободную грамматику существенно неоднозначного языка. Возьмите цепочку длины больше пяти, прилежащую этому языку, и постройте все деревья вывода этой цепочки в предъявленной грамматике.
10. Постройте сжатое представление леса, полученного в задаче 9.

9 Алгоритм на основе восходящего анализа

Наша реализация [54]

9.1 Восходящий синтаксический анализ

Основы LR-анализа.

Таблицы, конфликты.

Пример автомата и таблиц.

Немного про рекурсивно-восходящий анализ.

9.2 Кс запросы

с [46]

9.3 Вопросы и задачи

1. Постройте автомат для грамматики
2. Постройте таблицу для автомата из задачи
3. В том числе дать неоднозначную грамматику
4. Запустить, постоить деревья, стеки и т.д.
5. Реализовать рекурсивно-восходящий анализ
6. Реализовать !!!!

10 Алгоритм на основе нисходящего анализа

GLL [22]

Другие реализации [32]

10.1 Нисходящий синтаксический анализ

Рекурсивный спуск, LL, таблицы, неоднозначности, левая рекурсия.

10.2 GLL для КС запросов

10.3 Вопросы и задачи

1. Задача 1
2. Задача 2

11 Комбинаторы для КС апросов

11.1 Парсер комбинаторы

Что это, с чем едят, плюсы, минусы. Про семантику, безопасность, левую рекурсию и т.д. Набор примитивных парсеров и функций, которые умеют из существующих арсеров строить более сложные (собственно, комбинаторы парсеров).

Разобрать символ, разобрать последовательность, разобрать альтернативу. впринципе, этого достаточно, но это не очень удобно.

Проблемы с левой рекурсией. Существуют решения. Одно из них — Meerkat. Подробно про него?

11.2 Комбинаторы для КС запросов

Вообще говоря, идея использовать комбинаторы для навигации по графам достаточно очевидно и не нова. немного про Trails [28].

Комбинаторы для запросов к графам на основе Meerkat [55]

Обобщённые запросы, типобезопасность и всё такое. Примеры запросов.

11.3 Вопросы и задачи

1. Реализовать библиотеку парсер комбинаторов.
2. Что-нибудь полезное с ними сделать.

12 Производные для КС запросов

12.1 Производные

Общая теория.

Определения.

12.2 Парсинг на производных

Статьи [33, 1, 34, 3] Реализации. На Scala ⁵, на Racket ⁶.

12.3 Адоптация для КС запросов

Для регулярных запросов над графами [36]. Хорошо работают в распределённых системах, в которых реализован параллелизм уровня вершин. Например Google Pregel.

12.4 Вопросы и задачи

1. Предъявить несколько выводов для одной цепочки.
2. Построить выводы
3. Построить деревья вывода !!! Перенести из раздела про SPPF

13 От CFPQ к вычислению Datalog-запросов

13.1 Datalog

Конечные Эрбрановы модели. Наименьшая неподвижная точка. $C :- d$

⁵<https://github.com/djspiewak/parseback>

⁶<https://bitbucket.org/ucombinator/derp-3/src/86bca8a720231e010a3ad6aefd1aa1c0f35cbf6b/src/derp.rkt?at=master&fileviewer=file-view-default>

13.2 КС-запрос как запрос на Datalog

Покажем, что для данного графа и КС-запроса можно построить эквивалентный запрос на Datalog.

Пусть дан граф G . Граф преобразуется в набор фактов (базу данных).

Пусть есть грамматика $G: S \rightarrow a b \mid a S b$. Она может быть преобразована в запрос следующего вида. $s(X, Y) :- a(X, Z), b(Z, Y)$. $s(X, Y) :- a(X, Z), s(Z, W)b(W, Y)$. $? :- s(X, Y)$

Наблюдения: появились переменные, есть порядок у конъюнктов, который задаёт порядок связывания.

13.3 Обобщение GLL для вычисления Datalog-запросов

Дескриптор — состояние процесса: состояние автомата, результат проделанной работы, подстановка. Задача — найти подстановки. На каждом шаге есть набор подстановок.

13.4 Вопросы и задачи

1. Написать синтаксический анализатор раз.
2. Написать синтаксический анализатор два.
3. Побаловаться с неоднозначными грамматиками
4. Побаловаться с конъюнктивными грамматиками.
5. Графы?

Список литературы

- [1] M. D. Adams, C. Hollenbeck, and M. Might. On the complexity and performance of parsing with derivatives. In *Proceedings of the 37th ACM SIGPLAN Conference on Programming Language Design and Implementation, PLDI '16*, pages 224–236, New York, NY, USA, 2016. ACM.
- [2] A. Afroozeh and A. Izmaylova. Faster, practical gll parsing. In B. Franke, editor, *Compiler Construction*, pages 89–108, Berlin, Heidelberg, 2015. Springer Berlin Heidelberg.
- [3] L. Andersen. Parsing with derivatives.
- [4] R. Axelsson and M. Lange. Formal language constrained reachability and model checking propositional dynamic logics. In *International Workshop on Reachability Problems*, pages 45–57. Springer, 2011.
- [5] R. Azimov and S. Grigorev. Context-free path querying by matrix multiplication. In *Proceedings of the 1st ACM SIGMOD Joint International Workshop on Graph Data Management Experiences & Systems (GRADES) and Network Data Analytics (NDA)*, GRADES-NDA '18, pages 5:1–5:10, New York, NY, USA, 2018. ACM.
- [6] C. Barrett, K. Bisset, M. Holzer, G. Konjevod, M. Marathe, and D. Wagner. Label constrained shortest path algorithms: An experimental evaluation using transportation networks. *March*, 9:2007, 2007.

- [7] C. Barrett, R. Jacob, and M. Marathe. Formal-language-constrained path problems. *SIAM Journal on Computing*, 30(3):809–837, 2000.
- [8] O. Bastani, S. Anand, and A. Aiken. Specification inference using context-free language reachability. In *ACM SIGPLAN Notices*, volume 50, pages 553–566. ACM, 2015.
- [9] S. Billot and B. Lang. The structure of shared forests in ambiguous parsing. In *Proceedings of the 27th Annual Meeting on Association for Computational Linguistics*, ACL ’89, pages 143–151, Stroudsburg, PA, USA, 1989. Association for Computational Linguistics.
- [10] D. A. Bini, M. Capovani, F. Romani, and G. Lotti. $o(n^{2.7799})$ complexity for approximate matrix multiplication. *Information Processing Letters*, 8(5):234–235, 1979.
- [11] P. G. Bradford. Quickest path distances on context-free labeled graphs. In *Appear in 6-th WSEAS Conference on Computational Intelligence, Man-Machine Systems and Cybernetics*. Citeseer, 2007.
- [12] P. G. Bradford. Language constrained graph problems: A microcosm of engineering research and development. In *Proceedings of the 2Nd WSEAS International Conference on Computer Engineering and Applications*, CEA’08, pages 71–76, Stevens Point, Wisconsin, USA, 2008. World Scientific and Engineering Academy and Society (WSEAS).
- [13] P. G. Bradford. Efficient exact paths for dyck and semi-dyck labeled path reachability (extended abstract). In *2017 IEEE 8th Annual Ubiquitous Computing, Electronics and Mobile Communication Conference (UEMCON)*, pages 247–253, Oct 2017.
- [14] P. G. Bradford and V. Choppella. Fast point-to-point dyck constrained shortest paths on a dag. In *2016 IEEE 7th Annual Ubiquitous Computing, Electronics & Mobile Communication Conference (UEMCON)*, pages 1–7. IEEE, 2016.
- [15] T. M. Chan. All-pairs shortest paths with real weights in $o(n^3/\log n)$ time. *Algorithmica*, 50(2):236–243, Feb 2008.
- [16] T. M. Chan. More algorithms for all-pairs shortest paths in weighted graphs. *SIAM Journal on Computing*, 39(5):2075–2089, 2010.
- [17] D. Coppersmith and S. Winograd. On the asymptotic complexity of matrix multiplication. *SIAM Journal on Computing*, 11(3):472–492, 1982.
- [18] D. Coppersmith and S. Winograd. Matrix multiplication via arithmetic progressions. *Journal of symbolic computation*, 9(3):251–280, 1990.
- [19] W. Dobosiewicz. A more efficient algorithm for the min-plus multiplication. *International journal of computer mathematics*, 32(1-2):49–60, 1990.
- [20] R. W. Floyd. Algorithm 97: shortest path. *Communications of the ACM*, 5(6):345, 1962.
- [21] M. L. Fredman. New bounds on the complexity of the shortest path problem. *SIAM Journal on Computing*, 5(1):83–89, 1976.
- [22] S. Grigorev and A. Ragozina. Context-free path querying with structural representation of result. In *Proceedings of the 13th Central & Eastern European Software Engineering Conference in Russia, CEE-SECR ’17*, pages 10:1–10:7, New York, NY, USA, 2017. ACM.
- [23] Y. Han. Improved algorithm for all pairs shortest paths. *Information Processing Letters*, 91(5):245–250, 2004.

- [24] J. Hellings. Conjunctive context-free path queries. In *Proceedings of ICDT'14*, pages 119–130, 2014.
- [25] J. Hellings. Path results for context-free grammar queries on graphs. *ArXiv*, abs/1502.02242, 2015.
- [26] J. Hellings. Querying for paths in graphs using context-free path queries, 2015.
- [27] M. Holzer, M. Kutrib, and U. Leiter. Nodes connected by path languages. In G. Mauri and A. Leporati, editors, *Developments in Language Theory*, pages 276–287, Berlin, Heidelberg, 2011. Springer Berlin Heidelberg.
- [28] D. Kröni and R. Schweizer. Parsing graphs: Applying parser combinators to graph traversals. In *Proceedings of the 4th Workshop on Scala, SCALA '13*, pages 7:1–7:4, New York, NY, USA, 2013. ACM.
- [29] J. Kuijpers, G. Fletcher, N. Yakovets, and T. Lindaaker. An experimental study of context-free path query evaluation methods. In *Proceedings of the 31st International Conference on Scientific and Statistical Database Management, SSDBM '19*, pages 121–132, New York, NY, USA, 2019. ACM.
- [30] O. Kupferman and G. Vardi. Eulerian paths with regular constraints. In *41st International Symposium on Mathematical Foundations of Computer Science (MFCS 2016)*. Schloss Dagstuhl-Leibniz-Zentrum fuer Informatik, 2016.
- [31] L. Lee. Fast context-free grammar parsing requires fast boolean matrix multiplication. *J. ACM*, 49(1):1–15, Jan. 2002.
- [32] C. M. Medeiros, M. A. Musicante, and U. S. Costa. Ll-based query answering over rdf databases. *Journal of Computer Languages*, 51:75 – 87, 2019.
- [33] M. Might and D. Darais. Yacc is dead. *CoRR*, abs/1010.5023, 2010.
- [34] M. Might, D. Darais, and D. Spiewak. Parsing with derivatives: A functional pearl. *SIGPLAN Not.*, 46(9):189–195, Sept. 2011.
- [35] N. Mishin, I. Sokolov, E. Spirin, V. Kutuev, E. Nemchinov, S. Gorbatyuk, and S. Grigorev. Evaluation of the context-free path querying algorithm based on matrix multiplication. In *Proceedings of the 2Nd Joint International Workshop on Graph Data Management Experiences & Systems (GRADES) and Network Data Analytics (NDA)*, GRADES-NDA'19, pages 12:1–12:5, New York, NY, USA, 2019. ACM.
- [36] M. Nolé and C. Sartiani. Regular path queries on massive graphs. In *Proceedings of the 28th International Conference on Scientific and Statistical Database Management, SSDBM '16*, pages 13:1–13:12, New York, NY, USA, 2016. ACM.
- [37] A. Okhotin. Boolean grammars. In *Proceedings of the 7th International Conference on Developments in Language Theory, DLT'03*, pages 398–410, Berlin, Heidelberg, 2003. Springer-Verlag.
- [38] A. Okhotin. Conjunctive and boolean grammars: The true general case of the context-free grammars. *Computer Science Review*, 9:27–59, 8 2013.
- [39] A. Okhotin. Parsing by matrix multiplication generalized to boolean grammars. *Theor. Comput. Sci.*, 516:101–120, Jan. 2014.

- [40] V. Y. Pan. Strassen’s algorithm is not optimal trilinear technique of aggregating, uniting and canceling for constructing fast algorithms for matrix operations. In *19th Annual Symposium on Foundations of Computer Science (sfcs 1978)*, pages 166–176. IEEE, 1978.
- [41] P. Pratikakis, J. S. Foster, and M. Hicks. Existential label flow inference via cfl reachability. In *SAS*, volume 6, pages 88–106. Springer, 2006.
- [42] J. G. Rekers. *Parser generation for interactive environments*. PhD thesis, Universiteit van Amsterdam, 1992.
- [43] T. Reps. Program analysis via graph reachability. In *Proceedings of the 1997 International Symposium on Logic Programming, ILPS ’97*, pages 5–19, Cambridge, MA, USA, 1997. MIT Press.
- [44] B. Roy. Transitivité et connexité. *Comptes Rendus Hebdomadaires Des Seances De L Academie Des Sciences*, 249(2):216–218, 1959.
- [45] A. Schönhage. Partial and total matrix multiplication. *SIAM Journal on Computing*, 10(3):434–455, 1981.
- [46] E. Scott and A. Johnstone. Right nulled glr parsers. *ACM Trans. Program. Lang. Syst.*, 28(4):577–618, July 2006.
- [47] E. Scott and A. Johnstone. Gll parsing. *Electron. Notes Theor. Comput. Sci.*, 253(7):177–189, Sept. 2010.
- [48] E. Scott, A. Johnstone, and R. Economopoulos. Brnglr: A cubic tomita-style glr parsing algorithm. *Acta Inf.*, 44(6):427–461, Sept. 2007.
- [49] V. Strassen. Gaussian elimination is not optimal. *Numerische mathematik*, 13(4):354–356, 1969.
- [50] T. Takaoka. A new upper bound on the complexity of the all pairs shortest path problem. *Information Processing Letters*, 43(4):195–199, 1992.
- [51] T. Takaoka. A faster algorithm for the all-pairs shortest path problem and its application. In *Computing and Combinatorics*, volume 3106, pages 278–289, 2004.
- [52] T. Takaoka. An $o(n^3 \log \log n / \log n)$ time algorithm for the all-pairs shortest path problem. *Information Processing Letters*, 96:155–161, 2005.
- [53] L. G. Valiant. General context-free recognition in less than cubic time. *J. Comput. Syst. Sci.*, 10(2):308–315, Apr. 1975.
- [54] E. Verbitskaia, S. Grigorev, and D. Avdyukhin. Relaxed parsing of regular approximations of string-embedded languages. In M. Mazzara and A. Voronkov, editors, *Perspectives of System Informatics*, pages 291–302, Cham, 2016. Springer International Publishing.
- [55] E. Verbitskaia, I. Kirillov, I. Nozkin, and S. Grigorev. Parser combinators for context-free path querying. In *Proceedings of the 9th ACM SIGPLAN International Symposium on Scala, Scala 2018*, pages 13–23, New York, NY, USA, 2018. ACM.
- [56] C. B. Ward and N. M. Wiegand. Complexity results on labeled shortest path problems from wireless routing metrics. *Comput. Netw.*, 54(2):208–217, Feb. 2010.

- [57] C. B. Ward, N. M. Wiegand, and P. G. Bradford. A distributed context-free language constrained shortest path algorithm. In *2008 37th International Conference on Parallel Processing*, pages 373–380. IEEE, 2008.
- [58] S. Warshall. A theorem on boolean matrices. 1962.
- [59] M. Yannakakis. Graph-theoretic methods in database theory. In *Proceedings of the ninth ACM SIGACT-SIGMOD-SIGART symposium on Principles of database systems*, pages 230–242. ACM, 1990.
- [60] X. Zhang, Z. Feng, X. Wang, G. Rao, and W. Wu. Context-free path queries on rdf graphs. In P. Groth, E. Simperl, A. Gray, M. Sabou, M. Krötzsch, F. Lecue, F. Flöck, and Y. Gil, editors, *The Semantic Web – ISWC 2016*, pages 632–648, Cham, 2016. Springer International Publishing.
- [61] X. Zheng and R. Rugina. Demand-driven alias analysis for c. In *Proceedings of the 35th Annual ACM SIGPLAN-SIGACT Symposium on Principles of Programming Languages*, POPL '08, pages 197–208, New York, NY, USA, 2008. ACM.
- [62] U. Zwick. A slightly improved sub-cubic algorithm for the all pairs shortest paths problem with real edge lengths. In *International Symposium on Algorithms and Computation*, pages 921–932. Springer, 2004.